COMUNE DI CAVAGLIÀ PROVINCIA DI BIELLA



Progetto di rinnovo con ampliamento e modifica dell'attività estrattiva di ghiaia e sabbia in loc. Cascina Valle" sul territorio del Comune di Cavaglià (BI)".

STUDIO DI IMPATTO VIABILISTICO

PROPONENTE

Bettoni 4.0 S.r.l.

Località Forno Fusorio

24020 Dezzo di Azzone – Bergamo (BG)

INDICE PREMESSA......6 METODI....... 8 LIVELLI DI SERVIZIO SU INTERSEZIONI A RASO LIBERE8 2.1) 2.2) TEMPI DI RITARDO E LIVELLI DI SERVIZIO PER INTERSEZIONI A RASO SEMAFORIZZATE......10 2.3) TEMPI DI RITARDO E LIVELLI DI SERVIZIO PER INTERSEZIONI A ROTATORIA.......11 2.4) DIMENSIONAMENTO DELL'INTERVENTO 18 INQUADRAMENTO TERRITORIALE.......19 4.2) FLUSSI DI TRAFFICO ATTUALI.......23 LIVELLI OPERATIVI DI SERVIZIO NELLO STATO DI FATTO25 6.1) 6.2)6.3)6.4) 6.5) 6.6)6.7)6.8)6.9)7.1) 7.1.1) 7.1.2) 7.1.3) 7.1.4) 7.2)13 intersezione SP 40 – Strada mandria 40

Progetto di rinnovo con ampliamento e modifica dell'attività estrattiva di ghiaia e sabbia

in loc. Cascina Valle" sul territorio del Comune di Cavaglià (BI)".

			Studio di Impatto Viabilistico
	7.2.2)	I4 Intersezione SP 40-cascina Alba	41
	7.2.3)	S2 Strada Mandria	41
	7.2.4)	S3 SP 40	42
8)	CONCLUS	SIONI	44

INDICE DELLE FIGURE

Figura 1: inquadramento generale delle aree interessate (fonte: BingMaps)	19
Figura 2: dettaglio area di estrazione (fonte: BingMaps)	20
Figura 3: dettaglio area di trattamento (fonte: BimgMaps)	20
Figura 4: delimitazione del comparto viario	21
Figura 5: grafo di rete utilizzato nelle verifiche quantitative (Stato di fatto)	22
Figura 6: flussi veicolari giorno feriale – intervallo 7.30-8.30	23
Figura 7:flussi veicolari giorno feriale – intervallo 17.00-18.00	23
Figura 8: Livelli Operativi di Servizio rete viaria nello stato di fatto	33
Figura 9: tracciati dei percorsi di scenario 1 e scenario 2 (fonte:Google Earth)	34
Figura 10: connessione sito Cascina Valle con sito Cascina Alba nello scenario 1	35
Figura 11: connessione sito Cascina Valle con sito Cascina Alba nello scenario 2	35
Figura 12: domanda di trasporto stimata per lo scenario 1 – connessione dei siti attraverso sc	la viabilità
pubblica	36
Figura 13: domanda di trasporto stimata per lo scenario 2 – connessione dei siti attraverso viabilità	mista . 40
INDICE DELLE TABELLE	
Tabella 1: livelli di servizio su intersezioni a raso libere	9
Tabella 2: Livelli di Servizio su intersezioni semaforizzate	11
Tabella 3: Livelli di servizio nelle intersezioni a rotatoria in funzione delle code e delle attese	12
Tabella 4: fattore correttivo per larghezza corsia e banchina	14
Tabella 5: fattore correttivo per numero di accessi a raso	14
Tabella 6: fattore correttivo per pendenza media della strada	15
Tabella 7: fattore correttivo per parte di strada con divieto di sorpasso	15
Tabella 8:fattore correttivo per la parte in cui è impedito il sorpasso e per la distribuzione del tra	affico nelle
due direzioni	16
Tabella 9: livelli di servizio per strade a carreggiata unica	17
Tabella 10: Livelli di Servizio su tratte stradali con carreggiata unica	17
Tabella 11: SP 143 – F/C nello stato di fatto	25
Tabella 12: Intersezione SP143-XXV Aprile-Aosta- dati geometrici e di traffico – Stato di fatto	26
Tabella 13: Intersezione SP143-XXV Aprile-Aosta – Rapporto flusso/capacità e tempi di ritardo ne fatto	
Tabella 14: Intersezione SP40 – corso Sant'Ignazio da Santhià – F/C e Ritardi modello HCM – St	
Tabella 14. Intersezione 31 40 – 60130 Gant Igriazio da Gantilia – 170 e Mitardi Modello Flori – Gi	
Tabella 15: Intersezione SP40 – strada Mandria – F/C e Ritardi modello HCM – Stato di fatto	
Tabella 16: Strada Mandria – F/C nello stato di fatto	
Tabella 17: SP 40 – F/C nello stato di fatto	
Tabella 18: Intersezione SP40 – Cascina Alba – F/C e Ritardi modello HCM – Stato di fatto	
Tabella 10. III.GISEZIONE SE40 – Cascina Alba – E/C & Milaiui Mouello Moivi – Stato di Patto	30

Studio di Impatto Viabilistico

Tabella 19: SP 40 VIA SANTHIA' – F/C nello stato di fatto	30
Tabella 20: SP 593 VIA CAVAGLIA' – F/C nello stato di fatto	31
Tabella 21: Intersezione SP593 – Strada Valledora – F/C e Ritardi modello HCM – Stato di fatto	31
Tabella 22: STRADA VALLEDORA – F/C nello stato di fatto	32
Tabella 23: Intersezione SP40 – Cascina Alba – F/C e Ritardi modello HCM – Scenario 1	37
Tabella 24: SP 40 VIA SANTHIA' – F/C nello scenario 1	37
Tabella 25: SP 593 VIA CAVAGLIA' – F/C nello scenario 1	38
Tabella 26: Intersezione SP593 – Strada Valledora – F/C e Ritardi modello HCM – Scenario 1	38
Tabella 27: STRADA VALLEDORA – F/C nello scenario 1	39
Tabella 28: confronto variabili sensibili Stato di Fatto-Scenario 1	39
Tabella 29: Intersezione SP40 – strada Mandria – F/C e Ritardi modello HCM – Scenario 2	40
Tabella 30: Intersezione SP40 – Cascina Alba – F/C e Ritardi modello HCM – Scenario 2	41
Tabella 31: Strada Mandria – F/C nello scenario 2	41
Tabella 32: SP 40 – F/C nello scenario 2	42
Tabella 33: confronto variabili sensibili Stato di Fatto-Scenario 2	42

1) PREMESSA

Lo studio di impatto viabilistico, presentato nelle pagine seguenti, sviluppa le analisi relative agli effetti sul sistema viario derivanti dalla realizzazione del "Progetto di rinnovo con ampliamento e modifica dell'attività estrattiva di ghiaia e sabbia in loc. Cascina Valle" sul territorio del Comune di Cavaglià (BI)".

Lo studio è stato sviluppato partendo dalla richiesta di approfondimenti da parte dell'Organo Tecnico del 18.01.2024 in merito all'Istruttoria relativa all'Istanza di Verifica di Assoggetabilità a V.I.A. del progetto sopraindicato e contenuti nel Capitolo "(E) INQUINAMENTO E DISTURBI AMBIENTALI", punto "VIABILITÀ E TRAFFICO VEICOLARE.

Scopo generale dello studio è stato quello di verificare gli effetti sul sistema viario derivati dalla distribuzione del traffico indotto e aggiuntivo dovuto allo sviluppo delle nuove attività.

Gli obiettivi assunti dallo studio sono stati:

- Definizione della dimensione dell'intervento;
- Delimitazione dell'area di studio;
- Quantificazione della domanda di trasporto attuale sulla rete viaria del comparto;
- Calcolo dei livelli di prestazione degli elementi di rete (LdS) nello stato di fatto;
- Calcolo dei livelli di prestazione degli elementi di rete negli scenari di progetto:
 - 1. Scenario di traffico su percorsi di sola viabilità pubblica;
 - 2. Scenario di traffico su percorsi misti di viabilità pubblica e privata.

Le fasi di sviluppo dello studio conseguenti sono state:

- definizione del grafo di rete interessato dalle misurazioni;
- definizione dei singoli movimenti di svolta e dei singoli tratti rettilinei oggetto del campionamento;
- definizione degli intervalli di campionamento e delle giornate di campionamento;
- esecuzione della campagna di misura;
- ricostruzione dello scenario di traffico al tempo T0 (stato di fatto);
- verifica dei Livelli Operativi di Servizio (L.OS.) dei singoli elementi di rete.

La quantificazione dei probabili effetti derivanti dall'incremento della domanda di trasporto ha richiesto:

- La stima della domanda di trasporto indotta dalla realizzazione del nuovo impianto;
- La distribuzione sulla rete di guesta domanda aggiuntiva;
- Il calcolo dei Livelli Operativi di Servizio (L.O.S.) dei singoli elementi di rete attraverso l'utilizzo dei modelli quantitativi utilizzati durante la prima fase di analisi (rete attuale).

Le prestazioni dei singoli elementi di rete (Archi e Nodi) sono state analizzate facendo ricorso:

- ai modelli di stima delle riserve di capacità per rotatorie proposti da Bernard Guichet (CETRA/CERTU);
- ai modelli proposti da "TRB, Highway Capacity Manual, Transportation Research Board, National Research Council, Washington" per sezioni rettilinee e per intersezioni a raso libere;
- i modelli di "ciclo ottimo" (HCM) e dei "tempi di ritardo" (Webster) su intersezioni semaforizzate proposti, ad esempio, da F.W. Webster in "Traffic Signals Settings".

2) METODI

L'analisi delle prestazioni delle diverse componenti del sistema viario vengono sviluppate facendo riferimento a condizioni di:

- Flusso ininterrotto (tratte stradali)
- Flusso interrotto (intersezioni)

Nel caso di condizioni di flusso ininterrotto i modelli analitici utilizzati per le verifiche prestazionali sono contenuti:

 nell'Highway Capacity Manual (versioni 1985 e 2000) per la stima del Livello di Servizio (LdS) di assi stradali con condizioni di flusso ininterrotto.

mentre, per le intersezioni (flusso interrotto), si fa riferimento a specifici modelli analitici presenti in letteratura quali:

- Algoritmi e modelli di stima dei Livelli di Servizio su intersezioni a raso libere proposti, ad esempio da H.C.M.;
- Algoritmi e modelli dei tempi di ritardo su intersezioni semaforizzate proposto, ad esempio, da F.W. Webster in "Traffic Signals Settings";
- Algoritmi e modelli di calcolo delle riserve di capacità e dei tempi di ritardo su untersezioni a rotatoria proposto, ad esempio, da D.S.T.R.-Setra-Certu in Programme de calcul de capacite ses carrefour giratoires.

2.1) LIVELLI DI SERVIZIO SU INTERSEZIONI A RASO LIBERE

Il metodo adottato per la verifica dei livelli di servizio su intersezioni a raso libere mette in relazione le geometrie dell'intersezione con le manovre conflittuali e l'intervallo tra un veicolo e il successivo della corrente principale durante il quale un veicolo della corrente secondaria può effettuare la svolta.

L'intervallo critico è funzione del tipo di disciplina della circolazione adottata e delle velocità di attraversamento dell'intersezione da parte dei veicoli.

Dati i volumi di traffico, espressi in veicoli equivalenti, per ogni manovra (vl) la procedura HCM di calcolo delle capacità delle singole manovre e dei relativi LOS si sviluppa in passi successivi, in base all'ipotesi che gli intervalli liberi sul flusso principale siano utilizzati in ordine

- 1. Per le svolte a destra della strada secondaria (RT);
- 2. Per le svolte a sinistra dalla strada principale (LTM);
- 3. Per gli attraversamenti della strada secondaria (TH);
- 4. Per le svolte a sinistra dalla secondaria (LTm).

Si determinano, in funzione della geometria dell'intersezione, i volumi di traffico conflittuali per ogni manovra di svolta.

Si stabilisce il valore dell'intervallo critico per ciascuna manovra in funzione delle caratteristiche dell'intersezione facendo riferimento alla tabella seguente:

TABLE 10-1. CRITICAL GAPS tc AND FOLLOW-UP TIMES tf FOR PASSENGER CARS AT TWSC INTERSECTIONS

	CRITICA	AL GAP t_c	Follow-Up
VEHICLE MANEUVER	Two-Lane Major Road	Four-Lane Major Road	Time t_f
Left turn, major street	4.1	4.1	2.2
Right turn, minor street	6.2	6.9	3.3
Through traffic, minor street	6.5	6.5	4.0
Left turn, minor street	7.1	7.5	3.5

In funzione del volume conflittuale e dell'intervallo critico (espresso in sec.) si ricava dall'abaco il valore della capacità potenziale per ogni singola manovra.

Per tenere conto dell'interazione delle varie svolte si introduce un fattore di impedenza, determinabile in funzione del rapporto tra flusso della i_esima manovra e la sua capacità potenziale, ottenendo la capacità della singola manovra (cm). Il valore di capacità ottenuto è valido se la manovra è canalizzata in una apposita corsia.

Nel caso in cui più manovre impegnano la medesima corsia il valore della capacità effettiva (csh) è dato dalla:

$$csh = (vl + vt + vr) / (vl/cml + vt/cmt + vr/cmr)$$

dove:

csh = capacità

vI = LT volume di traffico per svolta a sinistra su corsia condivisa

vt = TH volume di traffico per attraversamenti strada secondaria

vr = RT volume di traffico per svolta a destra dalla strada secondaria

cml = capacità della manovra di svolta a sinistra

cmt = capacità della manovra di attraversamento

cmr = capacità della manovra di svolta a destra

Dalla capacità si deduce la saturazione e i tempi di ritardo per veicolo che sono riportati nella tabella seguente:

Livello di servizio	Tempo di attesa per veicolo (secondi)
А	≤ 10
В	10 ÷ 15
С	15 ÷25
D	25 ÷ 35
E	35 ÷50
F	> 50

Tabella 1: livelli di servizio su intersezioni a raso libere

Studio Arch. Vincenzo Curti Rev 1 – 08- 2025

9

2.2) TEMPI DI RITARDO E LIVELLI DI SERVIZIO PER INTERSEZIONI A RASO SEMAFORIZZATE

Il metodo adottato per la verifica dei livelli di servizio su intersezioni a raso semaforizzate ha comportato l'adozione di due modelli distinti:

- · calcolo degli arrivi casuali ad accessi sottosaturi;
- calcolo della durata ottima del ciclo semaforico.

Il primo modello di calcolo è proposto da F.W. Webster in "*Traffic Signals Settings*", Road Research Technical Paper 39, HMSO, London. Webster propose una espressione semi-sperimentale per il ritardo subito dai veicoli nel passaggio attraverso un'intersezione semaforizzata in accessi sottosaturi. La formula proposta, verificata attraverso una lunga serie di osservazioni sul campo, si componeva di tre termini: i primi due di derivazione teorica, il terzo di derivazione puramente sperimentale e precisamente:

$$w = 0.45 \left[(c (1-\mu)^{**}2/(1-Q/S)) + (Q/(\mu S (\mu S-Q))) - 0.65(c/Q^{**}2)^{**}1/3\mu 2 + 5y \right]$$

dove:

w = tempo di attesa

c = durata del ciclo (reale se esiste un semaforo o 60" se l'intersezione è libera)

Q = flusso veicolare dell'arco in esame

S = flusso di saturazione dell'arco in esame

y = percentuale di verde efficace sul ciclo nella fase in esame;

 μ = g/c è il rapporto tra tempo di verde disponibile per l'arco in esame e la lunghezza del ciclo (reale se esiste un semaforo o porzione percentuale del ciclo ideale di 60" se l'intersezione è libera. La percentuale di tempo di verde da dedicare all'arco dipende dalla gerarchia dell'arco in esame)

Il secondo modello adottato e mirato al calcolo della durata ottima di ciclo e degli split di fase fornisce una durata che minimizza il ritardo di tutto il traffico in arrivo sull'intersezione. L'espressione utilizzata per il calcolo del ciclo ottimo è stata la seguente:

$$Co = (1,5*L+5)/(1-Y)$$

dove:

Y = somma dei rapporti di flusso critici (Q/S) dell'intersezione;

L = perditempo totale per ciclo.

I tempi di verde efficace (split di fase) sono calcolati dopo aver determinato il tempo di verde totale disponibile e averlo ripartito proporzionalmente ai rapporti critici di flusso per fase, cioè:

$$gi = (Co-L)yi/Y$$

dove:

gi = tempo di verde efficace i-esima fase;

yi = rapporto di flusso critico (Qi/Si) dell'i-esima fase.

I livelli di servizio adottati sono stati:

	livello di servizio	Tempo di attesa per veicolo (secondi)
A	Avvicinamento con il verde	≤ 10
В	Cicli molto brevi	10 ÷ 20
С	Allungamento dei cicli e difficoltà di gestione del traffico	20 ÷35
D	Inizio di congestione	35 ÷ 55
E	Limite accettabile della congestione	55 ÷80
F	Verso la saturazione	> 80

Tabella 2: Livelli di Servizio su intersezioni semaforizzate

2.3) TEMPI DI RITARDO E LIVELLI DI SERVIZIO PER INTERSEZIONI A ROTATORIA

Il metodo adottato per la verifica dei livelli di servizio su intersezioni a raso disciplinate attraverso rotatoria è derivato, per il calcolo dei perditempo e degli accumuli veicolari, dal modello quantitativo elaborato in Svizzera (VSS 3/89) e in Francia (CERTU/SETRA).

Successivamente i valori ottenuto sono rapportati ai perditempo indicati da H.C.M. 2000 per i livelli di servizio. Il modello quantitativo pone in relazione i flussi in ingresso e in uscita con i flussi circolanti nell'anello e le geometrie di progetto della rotatoria. La formula generale per il calcolo della capacità di una entrata è data dalla:

Dove:

Ce = capacità dell'ingresso (veicoli/ora);

 $Qg = \beta^*Qc + \alpha^*Qs$

Qc = portata del flusso circolante nell'anello;

Qs = portata del flusso in uscita;

 β = coeff. relativo alla larghezza dell'anello;

 α = coeff. del flusso in uscita.

La stima dei tassi di capacità di un ingresso è data dalla:

$$Tcue = (\gamma *Qe/Ce)*100$$

Dove:

Ce = capacità dell'ingresso (veicoli/ora);

Qe = flusso in ingresso;

 γ = coeff. relativo al numero di corsie in ingresso.

Mentre per il tasso di capacità dell'anello abbiamo la:

$$Tcuc = ((\gamma*Qe+8/9*Qg)/1500)*100$$

Dove:

 $Qg = \beta^*Qc + \alpha^*Qs$

Qe = flusso in ingresso;

 γ = coeff. relativo al numero di corsie in ingresso.

I livelli di servizio adottati sono stati riferiti alla norma Svizzera VSS N° 640-024 come descritto nella tabella successiva:

	Livello	di servizio	Tempo di ritardo
	Qualità della circolazione	Formazione di code in attesa	(secondi)
Α	Eccellente	Nessuna formazione di code	≤10
В	Buona	Formazione casuale di accodamenti	10,1÷15,0
С	Soddisfacente	Presenza temporanea di file di attesa	15,1÷25,0
D	Sufficiente	Presenza stabile di file di attesa	25,1÷45,0
Е	Insufficiente	Presenza stabile di file di attesa	>45,1 (÷60,0)
F	Totalmente insufficiente	Presenza stabile di file di attesa non assorbita	>>45 (>60,0)

Tabella 3: Livelli di servizio nelle intersezioni a rotatoria in funzione delle code e delle attese

Per la valutazione quantitativa della rotatoria è stato utilizzato il software francese SETRA (Versione 4 è un software di Bernard Guichet prodotto per i centri francesi CERTU - CETE de l'Ouest – SETRA) che stima le riserve di capacità e i tempi persi per intersezioni a rotatoria con precedenza al flusso circolante sull'anello. Di seguito si riportano i movimenti di svolta e le tabelle -in francese- dei risultati della simulazione effettuata con il software. Nel rapporto vengono riassunte le caratteristiche geometriche della rotatoria in esame, la domanda di traffico utilizzata in simulazione e, in ultimo, i risultati di simulazione per ogni singolo braccio dell'intersezione. I dati essenziali dei risultati prestazionali che si ottengono dal software risultano i seguenti:

- riserva di capacità: rapporto tra la quantità di traffico prevista sul ramo e la capacità all'entrata del ramo stesso. Il rapporto è computato sia in valore assoluto (veicoli all'ora) sia in valore percentuale e fornisce la misura di quanti veicoli possono passare prima della formazione di attese in ingresso alla rotonda;
- coda di attesa o lunghezza dell'accumulo: rappresenta la quantità di veicoli in attesa di entrare nella rotonda ed è espressa come valore massimo stimato o come valore medio durante l'ora. Poiché l'arrivo dei veicoli è fortemente casuale, di fatto si potrebbero verificare attese maggiori di quelle calcolate;
- **attesa media:** espressa sia in secondi di attesa rispetto al singolo veicolo, sia nel complesso come valore medio, nell'arco di un'ora, del tempo perso da tutti i veicoli in attesa all'ingresso nella rotonda.

2.4) LIVELLI DI SERVIZIO SU TRATTE STRADALI

La metodologia indicata da HCM per la determinazione dei Livelli di Servizio su tratte stradali si suddivide in:

- Metodi per la determinazione dei LOS su tratte a carreggiata separata (Multilane Higway);
- Metodi per la determinazione dei LOS su tratte a carreggiata unica (Two-lane Higway).

Nella metodologia le caratteristiche del deflusso dei veicoli sono analizzate in condizioni di:

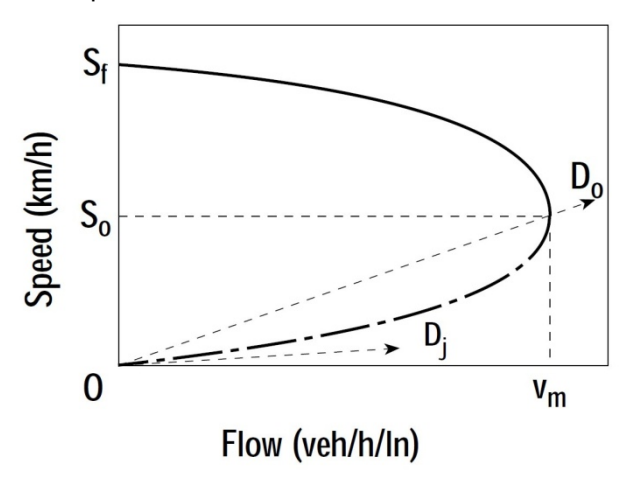
- Sottosaturazione;
- Scarico di coda;
- Sovrasaturazione.

Per condizioni di <u>sottosaturazione</u> il deflusso in un punto non è condizionato dalle condizioni di monte o di valle (non si verifica la presenza di onde di shock).

Per condizioni di <u>scarico di coda</u> il deflusso è condizionato dal verificarsi di colli di bottiglia con aumento repentino della portata e della velocità.

Per condizioni di <u>sovrasaturazione</u> il deflusso a monte di un collo di bottiglia o di una interruzione è influenzato dalla perturbazione e l'onda di shock si propaga risalendo la corrente.

La relazione Flusso/Velocità è del tipo:



Per tratte a carreggiata unica valgono le seguenti regole:

- Strade a carreggiata unica e doppio senso di marcia;
- Le condizioni di deflusso in una direzione sono influenzate dal flusso in entrambe le direzioni e dalle caratteristiche del tracciato (condizioni di flusso interrotto);
- Il LOS richiede l'applicazione di equazioni diverse dalle precedenti (flusso ininterrotto).

I fattori che influenzano il LOS sono:

- Possibilità di superare veicoli più lenti;
- Entità del Flusso;
- Velocità del Flusso;
- % di tempo trascorsa in attesa di effettuare un sorpasso (PTSF);
- tipologia di strada (strade principali e strade secondario).

Il meccanismo di sorpasso dipende da:

• entità e tipologia flusso opposto;

- possibilità di sorpasso (linea mediana continua);
- velocità del veicolo da superare;
- caratteristiche del tracciato.

Calcolo di FFS (Free Flow Speed):

$$FFS = BFFS - f_{LS} - f_{A}$$

dove:

BFFS = FFS di base (km/h);

fLS = fattore correttivo per larghezza corsia e banchina;

f_A = fattore correttivo per presenza di accessi a raso.

Tabella 4: fattore correttivo per larghezza corsia e banchina

Tabella 5: fattore correttivo per numero di accessi a raso

Determinazione tasso di flusso Vp:

$$Vp = \frac{V}{PHF * f_{HV} * f_{G}}$$

dove:

V = flusso orario (veic/h);

PHF = fattore ora di punta;

 f_{HV} = fattore correttivo per veicoli pesanti;

 f_G = fattore correttivo per pendenza media della strada.

Il fattore f_G è determinabile con le seguenti tabelle:

Tabella 6: fattore correttivo per pendenza media della strada

Il fattore correttivo f_{HV} è determinabile con la relazione, già utilizzata:

$$f_{HV} = \frac{1}{1 + P_T(E_T - 1) + P_R(E_R - 1)}$$

dove:

 E_T , E_R = fattori di equivalenza;

 P_T , P_R = frazione di veicoli pesanti;

Determinazione della velocità media di deflusso ATS:

$$ATS = FFS - 0.0125Vp - f_{np}$$

dove:

ATS = velocità media di deflusso per entrambe le direzioni

 V_p = tasso di flusso;

FFS = velocità di flusso libero;

 f_{np} = frazione di strada in cui è impedito il sorpasso;

Il coefficiente f_{np} , è ricavabile dalla seguente tabella:

Tabella 7: fattore correttivo per parte di strada con divieto di sorpasso

Studio Arch. Vincenzo Curti Rev 1 – 08- 2025

15

Studio di Impatto Viabilistico

Determinazione del tempo speso accodati a veicoli più lenti (PTSF):

dove:

PTSF = percent-time-spent following

BPTSF = valore di base di PTSF;

 $f_{d/np}$ = fattore correttivo per la frazione di strada in cui è impedito il sorpasso e per la distribuzione del traffico nelle due direzioni;

Il valore di BPTSF si ricava utilizzando:

$$BPTSF = 100(1 - e^{-0.000879V_p})$$

Il fattore $f_{d/np}$ si ricava dalla seguente tabella:

Tabella 8:fattore correttivo per la parte in cui è impedito il sorpasso e per la distribuzione del traffico nelle due direzioni

Con a disposizione i valori della velocità media di deflusso (ATS) e la percentuale di tempo spesa accodati (PTSF) si determina il livello di servizio del tratto di strada considerato:

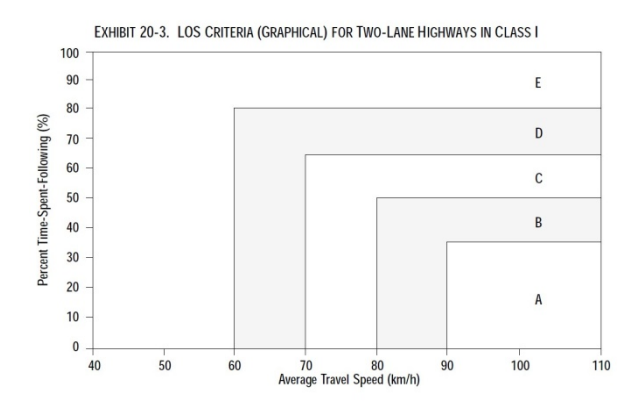


Tabella 9: livelli di servizio per strade a carreggiata unica

Riassumendo, per tratte a carreggiata unica i Livelli di Servizio possono venire stimati in funzione dei due diversi metodi di calcolo proposti da HCM 1985 e HCM 2000 e precisamente:

LIVELLI DI	HCM 1985		HCM 2000	
SERVIZIO				
	FLUSSO/CAP.	FLUSSO (Veic./H)	PTSF (%)	FLUSSO (Veic./H)
А	0,18	≅ 57 5	40	≅ 7 00
В	0,32	≅ 1042	60	≅ 7 00
С	0,52	≅ 1650	77	≅ 7 00
D	0,77	≅ 2450	88	≅ 700
E	>0,77		>88	≅ 700

Tabella 10: Livelli di Servizio su tratte stradali con carreggiata unica

In Europa e in Italia, nel caso di tratte a carreggiata unica viene proposta, da più parti, l'adozione di alcuni adattamenti della modellistica statunitense.

Gli adattamenti sono suggeriti per meglio considerare lo specifico parco veicolare e le specifiche caratteristiche personali europee.

Ad esempio, dalla Regione Lombardia, viene suggerito per HCM 1985 di:

- Utilizzare un valore di Capacità pari a 3200 veicoli/ora e non 2800 veicoli/ora;
- Utilizzare rapporti Flussi/Capacità aumentati del 20% rispetto a quelli dell'HCM per determinare il passaggio tra Livelli di Servizio.

Per HCM 2000 viene suggerito di:

• Valutare il Livello di Servizio in funzione del solo parametro PTSF.

3) DIMENSIONAMENTO DELL'INTERVENTO

Gli studi di impatto viabilistico trattano i comportamenti delle reti stradali a fronte della distribuzione di una domanda di trasporto data o prevista. Le reti di trasporto vengono schematizzate attraverso grafi composti da archi (tratti stradali) e nodi (intersezioni).

I "confini" dell'area di studio dipendono fortemente:

- 1. Dal peso della domanda di trasporto indotta e dovuta dagli insediamenti oggetto di analisi;
- 2. Dal grado di dispersione del grafo.

Per quanto attiene al primo fattore il dimensionamento del peso dell'intervento è dipeso:

- ✓ Dai volumi scavo totale previsti;
- ✓ Dalla produzione giornaliera tipo;
- ✓ Dalla capacità di carico mezzi di trasporto utilizzati;
- ✓ Dall'intervallo giornaliero di operatività dell'impianto.

Nel nostro caso:

✓ volumi scavo totale previsti: 1,75 mil/mc
 ✓ produzione giornaliera: 1.000 mc/giorno
 ✓ capacità di carico mezzi di trasporto utilizzati. 20.00 mc

✓ intervallo giornaliero di operatività dell'impianto. 7.00-12.00/13.00-18.00

da cui si derivano:

numero di viaggi/giorno dei mezzi d'opera generati: 1.000/20 = 50 viaggi/giorno
 numero di viaggi/ora generati: 50/10 = 5 viaggi/ora

Per gli studi di impatto viabilistico, basati sui tradizionali metodi di valutazione presenti nella letteratura internazionale dell'ingegneria del traffico, l'intervallo significativo è quello orario. Nel nostro caso la domanda di trasporto indotta da considerare è:

- 5 viaggi/ora in uscita dall'area di scavo in direzione dell'area di trattamento;
- 5 viaggi/ora in ingresso all'area di scavo e provenienti dall'area di trattamento.

4) INQUADRAMENTO TERRITORIALE

4.1) Descrizione del comparto viario

L'Inquadramento Territoriale permette di tracciare una prima delimitazione dell'area di studio all'interno della quale sono verificabili gli effetti (impatti) dovuti alla variazione della domanda di trasporto.

L'inquadramento territoriale, nel campo degli studi di impatto viabilistico, verifica la dispersione del grafo che determina la maglia dei percorsi possibili utilizzabili nei tragitti origine/destinazione e la struttura dell'armatura stradale.

Il progetto di "Rinnovo con ampliamento e modifica dell'attività estrattiva di ghiaia e sabbia in loc. Cascina Valle" prevede la gestione dei materiali da scavo con l'attività estrattiva in località Cascina Valle sul territorio del Comune di Cavaglià (BI) e trattamento nell'impianto di Cascina Alba sul territorio del Comune di Tronzano V.se (VC). Questa modalità viene adottata in quanto l'impianto di Cascina Alba risulta totalmente automatizzato con sistemi a controllo numerico permette di eseguire il processo di selezione e separazione delle sabbie e delle ghiaie senza rotture di carico o movimentazioni interne.

Nelle immagini seguenti l'identificazione delle due aree interessate.

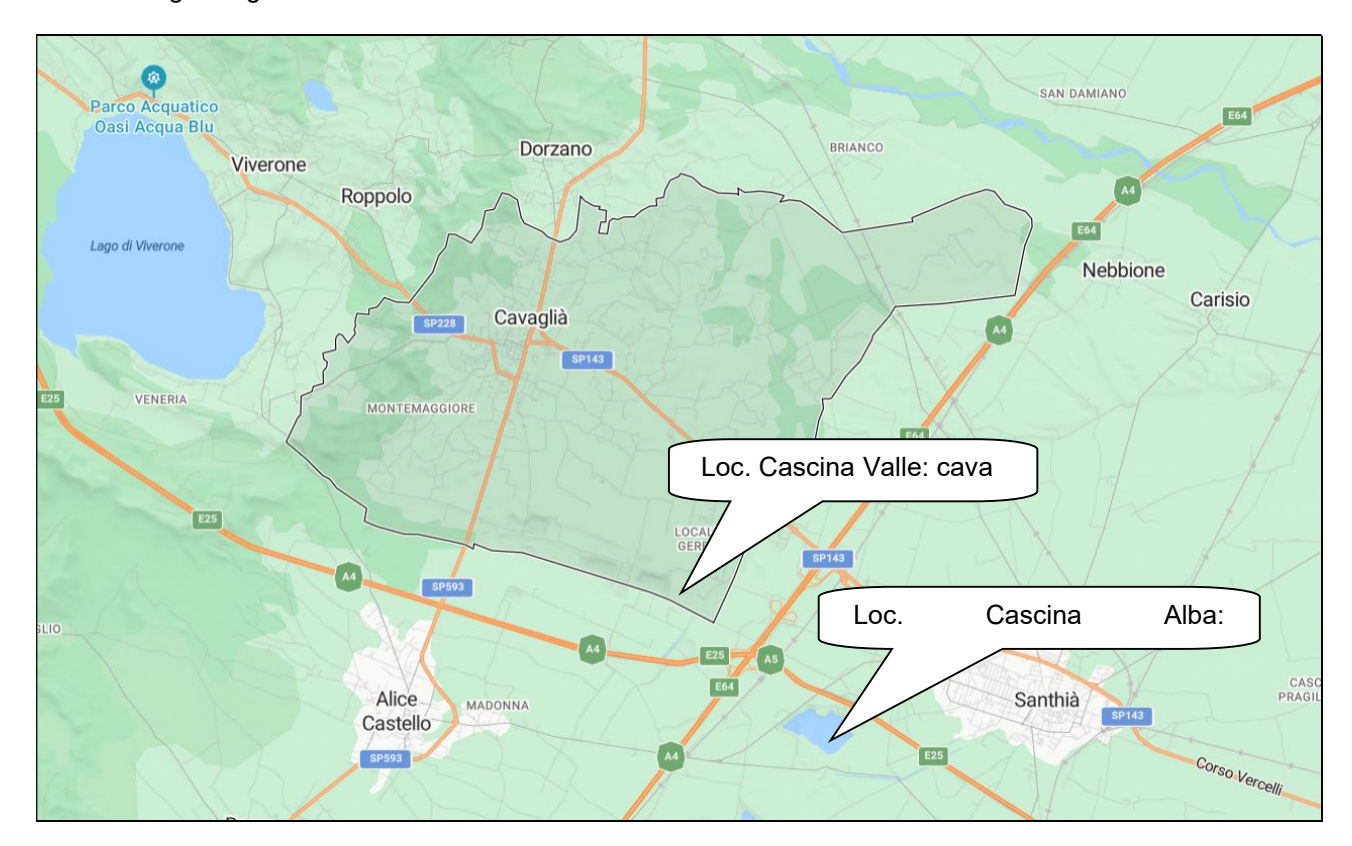


Figura 1: inquadramento generale delle aree interessate (fonte: BingMaps)



Figura 2: dettaglio area di estrazione (fonte: BingMaps)



Figura 3: dettaglio area di trattamento (fonte: BimgMaps)

La localizzazione dell'attività estrattiva e di trattamento combinata alla struttura dei tratti stradali di connessione determinano il grafo di rete da utilizzare. Nella figura successiva la visione di insieme dell'area di studio con la delimitazione del comparto viario interessato.

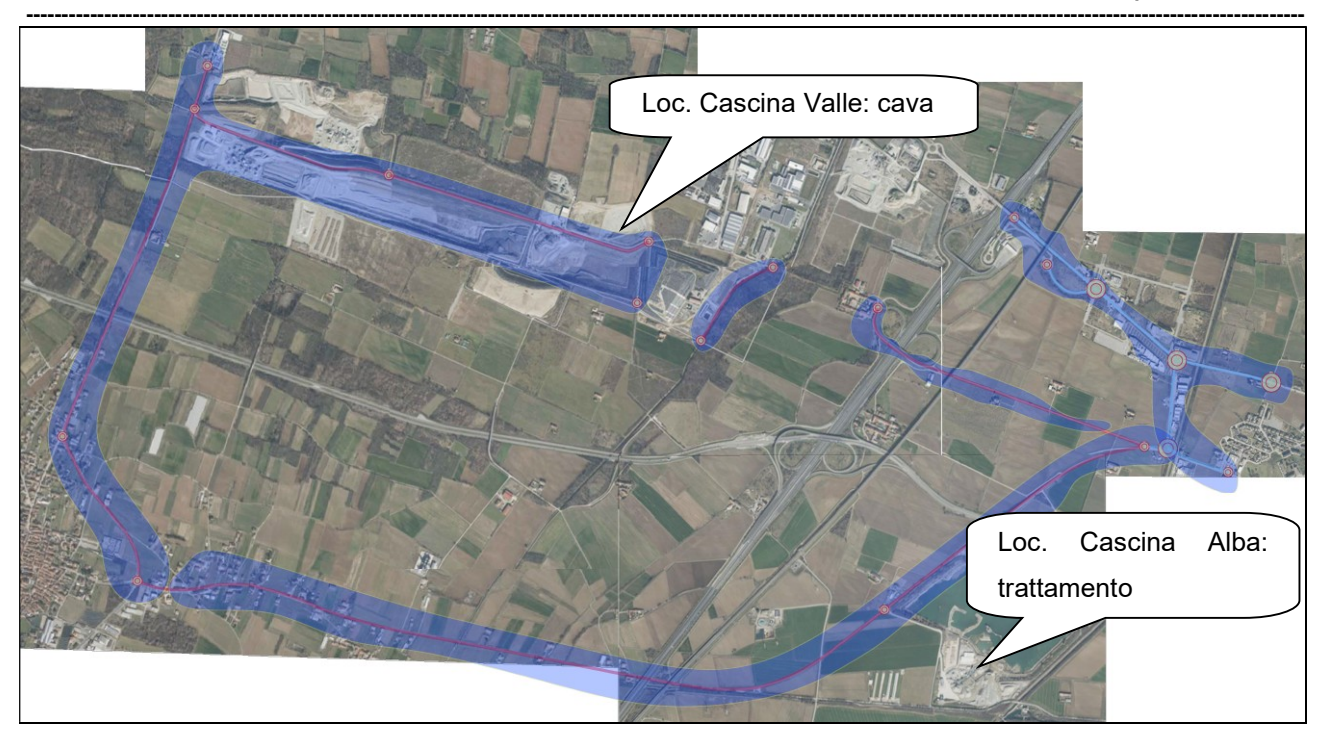


Figura 4: delimitazione del comparto viario

4.2) Dispersione del grafo e definizione delle sezioni di calcolo

La scelta delle sezioni di calcolo sulle quali effettuare le verifiche dei livelli operativi di servizio nello stato attuale e nello scenario di progetto è stata definita in funzione di due fattori:

- Il peso della domanda di trasporto indotta;
- Il grado di dispersione del grafo.

Nel caso in esame la domanda di trasporto indotta generata dall'intervento è stimata in 50 viaggi/giorno, 5 viaggi/ora in ingresso e in uscita dai due siti. Il grafo di rete su cui si distribuirà questo indotto è caratterizzato da uno sviluppo lineare e da un ridotto numero di nodi di svincolo.

Le analisi quantitative dovranno indagare quegli elementi di rete dove l'aumento della domanda di trasporto determinerà una variazione dei rapporti flusso/capacità (V/C) e del livelli di saturazione. Nella figura successiva e nell'allegato A le sezioni rettilinee e le intersezioni significative utilizzate durante le fasi di verifica:

- S1 Tratto di raccordo della SP143;
- I1 Intersezione SP 143-corso XXV Aprile-corso Aosta;
- I2 Intersezione SP 40-corso Sant'Ignazio da Santhià;
- I3 intersezione SP 40 Stradra mandria;
- S2 Strada Mandria:
- S3 SP 40 tratto Est:
- I4 Intersezione SP 40-cascina Alba;

- S4 SP 40 tratto via Santhià;
- S5 SP 593 tratto via Cavaglià;
- 15 Intersezione via Cavahlià-Strada Valledora;
- S6 Strada Valledora.

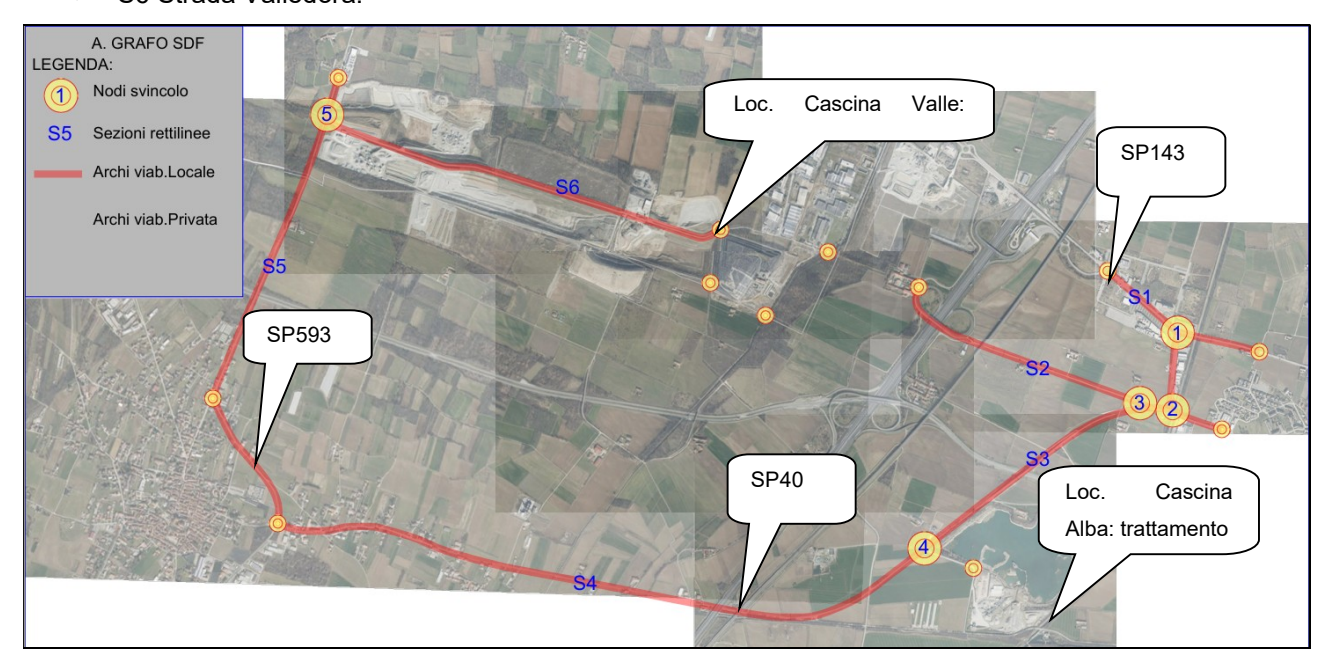


Figura 5: grafo di rete utilizzato nelle verifiche quantitative (Stato di fatto)

5) FLUSSI DI TRAFFICO ATTUALI

I flussi di traffico attuali che interessano l'area di intervento sono stati quantificati attraverso una campagna di misura che ha interessato sia i tratti rettilinei, sia i singoli movimenti di svolta. Le misure sono state effettuate durante la giornata di Venerdì 15 novembre 2024 (giorno feriale tipo) durante gli intervalli tra le ore: 7.30-8.30/17.00-18.00.

Le misure sono state eseguite mediante l'impiego di conta veicoli. I dati di traffico sono stati suddivisi in intervalli orari e classificati in veicoli leggeri e veicoli pesanti. Nelle figure successive e negli allegati i flussi orari rilevati.

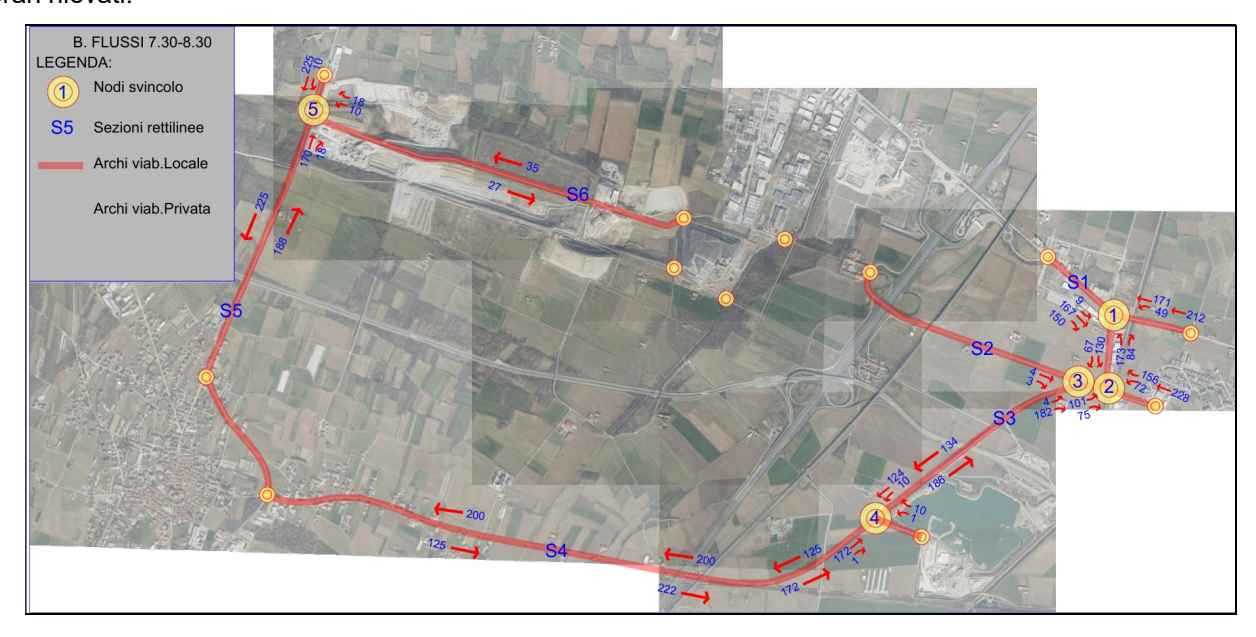


Figura 6: flussi veicolari giorno feriale - intervallo 7.30-8.30

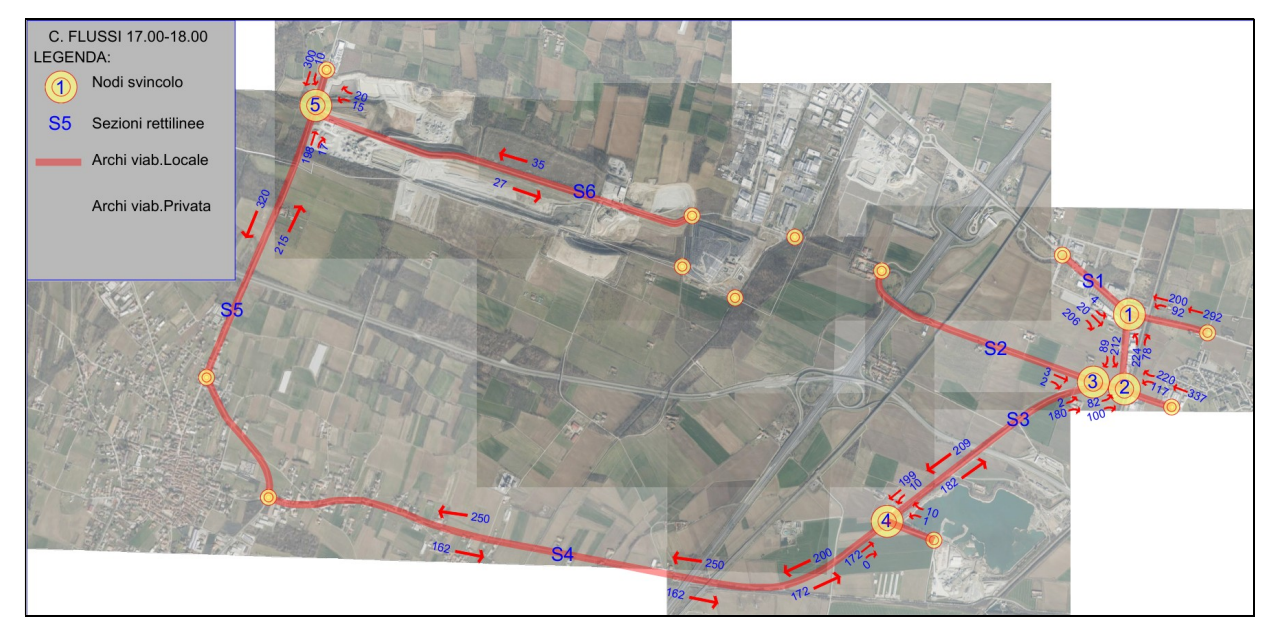


Figura 7:flussi veicolari giorno feriale - intervallo 17.00-18.00

L'intervallo di punta si è manifestato tra le ore 17.00 e le ore 18.00 in cui i tratti rettilinei di raccordo tra la viabilità del comparto con l'asse della A4 risultano caratterizzati da una domanda di trasporto compresa pari a circa 550 veicoli/ora con una percentuale di traffico pesante tra il 2.00% e il 3.00%. La viabilità provinciale è interessata da una domanda di trasporto compresa tra i 350 e i 500 veicoli/ora; mentre, la viabilità locale presenta una domanda molto scarsa (inferiore ai 50 vecioli/ora) con l'eccezione del tratto di corso Aosta che viene impegnato da una domanda pari a circa 600 veicoli/ora.

Le manovre di svolta sulle singole intersezioni concentrano movimenti principali lungo la direttrice di attraversamento (200-250 veicoli/ora) o sulle manovre di uscita in mano destra con l'eccezione della manovra di svolta a sinistra da corso Aosta in direzione della SP 143/A4. In questo caso l'intersezione è disciplinata mediante rotatoria.

6) LIVELLI OPERATIVI DI SERVIZIO NELLO STATO DI FATTO

Le prestazioni dei singoli elementi di rete sono state valutate attraverso la verifica dei L.d.S. e delle riserve di capacità applicando i modelli quantitativi descritti nel Capitolo 2.

Le sezioni interessate sono state:

- S1 Tratto di raccordo della SP143;
- I1 Intersezione SP 143-corso XXV Aprile-corso Aosta;
- I2 Intersezione SP 40-corso Sant'Ignazio da Santhià;
- I3 intersezione SP 40 Strada Mandria;
- S2 Strada Mandria:
- S3 SP 40 tratto Est;
- I4 Intersezione SP 40-cascina Alba;
- S4 SP 40 tratto via Santhià;
- S5 SP 593 tratto via Cavaglià;
- 15 Intersezione via Cavaglià-Strada Valledora;
- S6 Strada Valledora.

6.1) S1 Tratto di raccordo della SP143

Il tratto è stato analizzato facendo ricorso al modello proposto dall'H.C.M per sezioni rettilinee. I risultati ottenuti e proposti dal modello sono stati:

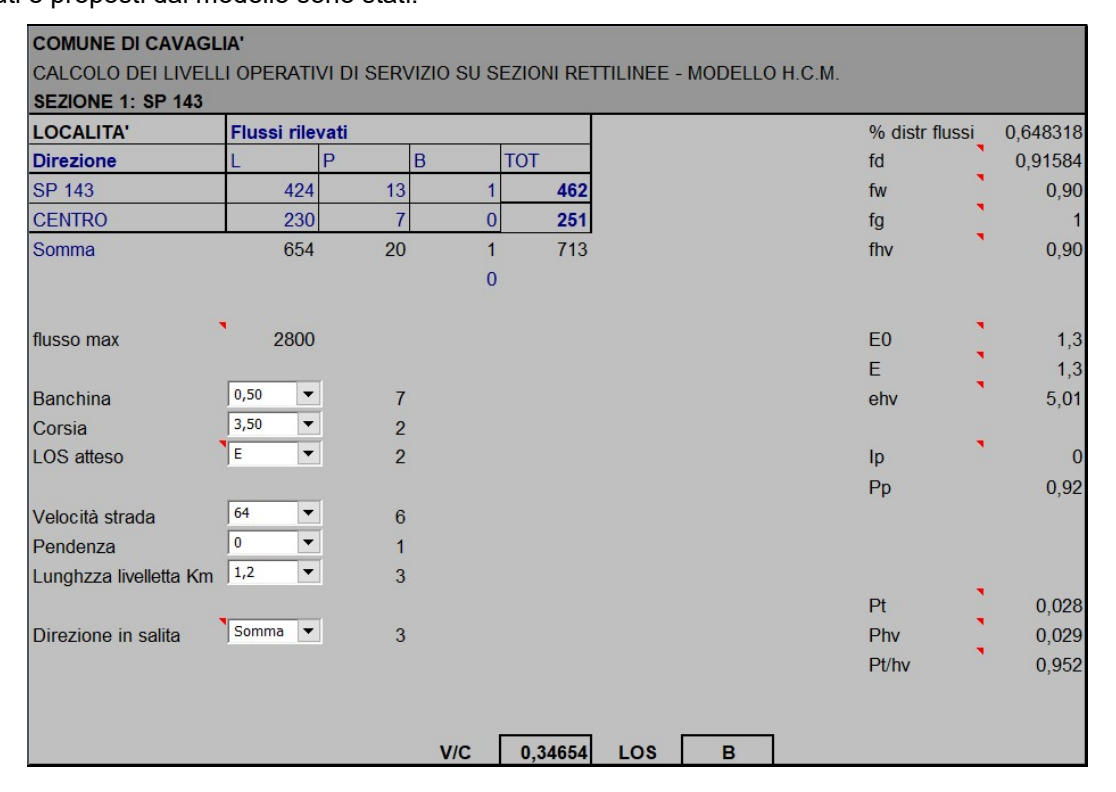


Tabella 11: SP 143 - F/C nello stato di fatto

Utilizzando una capacità teorica massima con curva di deflusso pari a 2,57 sec./veicolo si ha un rapporto Flusso/Capacità dello 0,3465 corrispondente a LOS B e una riserva ci capacità del 65,35%.

6.2) I1 Intersezione SP 143-corso XXV Aprile-corso Aosta

L'intersezione a rotatoria rappresenta il nodo principale dell'area di studio. La rotatoria è caratterizzata da uni isola centrale di 16 m di diametro con fascia sormontabile di 2.00 m di larghezza. La corona giratoria presenta una larghezza di 8.00 m mentre le isole direzionali hanno un fronte compreso tra i 7.00 e 8.00 m. I rami di accesso e di uscita dispongono di una corsia per senso di marcia.

Data l'importanza dell'intersezione le verifiche capacitive sono state condotte facendo ricorso al modello proposto da CETUR per ambiti urbani nella formulazione VSS/3/89 (Svizzera) per il calcolo dei tempi di ritardo e dei L.O.S. corrispondenti. I dati di partenza utilizzati sono stati i seguenti.

CALCOLO DE	ELLE CAPACITA	A' DI UNA	ROTONI	DA CON	3 RAMI						Mo	dello: G	uide Suis	se des Gir	atoires
Definizione de	i dati di partenza	a. (Compilare	e le parti in a	azzurro)							Ora di pu	ınta: 17.0	00-18.00		
Identificazione	e dei rami			Definizio	ne capac	ità teorica	per cors	sia			dati 11/2	024			
	Nome via	alfa		Capacità	(vph)	1500	con:	1500 vph	(caso ge	enerale)					
Ramo 1	XXV Aprile	0,40	15					1300 vph	(formula	CH1 per	domande	di traspor	to basse)		
Ramo 2	SP 143	0,40	16					1450 vph	(formula	CH1 per	domande	di traspor	to alte)		
Ramo 3	Aosta	0,40	13												
Distanza B		9	10	11	12	13	14	15	16	17	7 18	19	20	21	> 21
flusso debole	vel. elevata	0,80	0,75	0,69	0,63	0,59	0,53	0,48	0,42	0,38	0,31	0,27	0,21	0,16	0,16
flusso medio	vel. media	0,60	0,55	0,50	0,48	0,42	0,39	0,34	0,30	0,26	0,21	0,18	0,13	0,10	0,10
flusso elevato	vel. bassa	0,40	0,35	0,31	0,29	0,26	0,22	0,18	0,15	0,1	0,08	0,04	0,04	0,04	0,04
con b = distanza t	ra i punti di conflitto	delle traiettor	ie in uscita	ed in entrat	а										
coefficiente di ridu:	zione flusso circolan	te			coefficiente	di ripartizion	e flusso en	trante							
beta	0.9 - 1.0	1 corsia an	ello		gamma	1,0		1 corsia di	entrata			$C_{\cdot} = C$	$C_{\tau} - 8/9$	$*(Q_{C^*} + c$	$(\alpha \cdot O_{\alpha})$
	0.6 - 0.8	2 corsie an	ello			0.6 - 0.7		2 corsie di	entrata			e	1	(ZC	23/
	0.5 - 0.6	3 corsie an	ello			0,5		3 corsie di	entrata					1/	.0
													TC	$U_{e} = \frac{7}{2}$	2 e
Dati di traffico						Calcolo d	el flusso	presente s		(Qc)				$U_e = \frac{\gamma}{2}$	C_e
	XXV Aprile	SP 143		ingressi				semplific	ato						
XXV Aprile			92			ramo 1	228							$\gamma \cdot Q_e + 8$	9.0
SP 143			206			ramo 2	92						$TCU_{C} =$	150	0
Aosta	1		0			ramo 3	24	20						150	U
uscite (Qs)	98	428	298	824											

Tabella 12: Intersezione SP143-XXV Aprile-Aosta- dati geometrici e di traffico - Stato di fatto

I Risultati proposti dal modello sono stati:

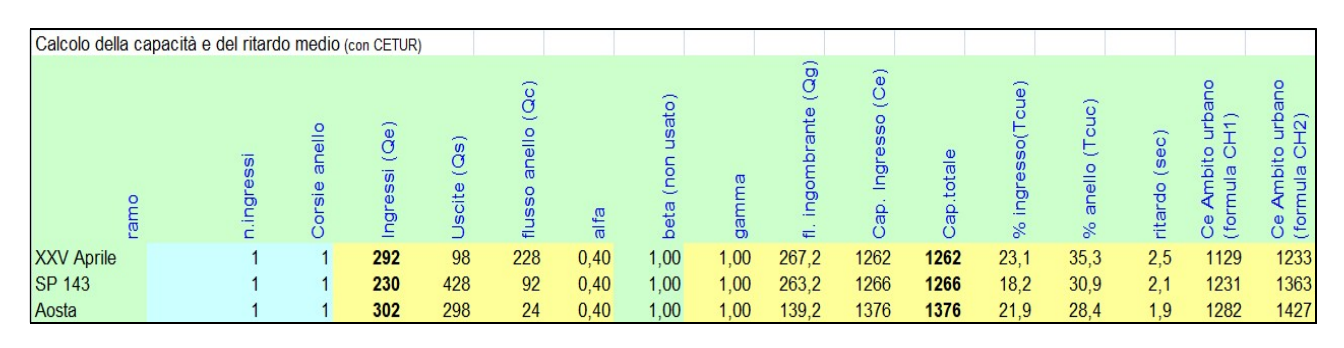


Tabella 13: Intersezione SP143-XXV Aprile-Aosta – Rapporto flusso/capacità e tempi di ritardo nello stato di fatto



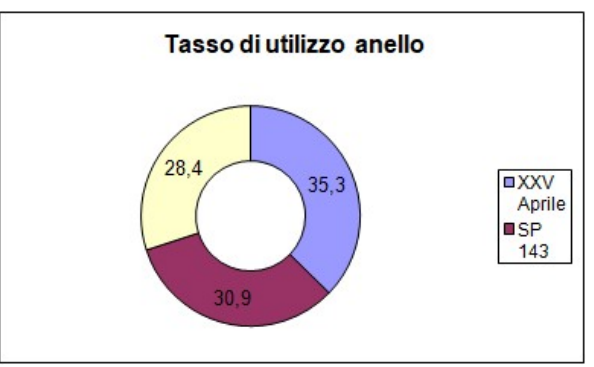


Diagramma 1: saturazione corsi di ingresso e anello di rotazione rotatoria Intersezione SP143-XXV Aprile-Aosta – stato di fatto

Il modello si concentra sul rapporto flusso/capacità (Volume di traffico/Capacità teorica) sui rami di ingresso. Dalla verifica emerge:

Ramo 1 corso XXV Aprile
 Sat. Ingresso (V/C): 23,10%, Sat. Anello: 35,30%, Rit.2,5"
 Ramo 2 SP 143
 Sat. Ingresso (V/C): 18,20%, Sat. Anello: 30,90%, Rit.2,1"
 Ramo 3 corso Aosta
 Sat. Ingresso (V/C): 21,90%, Sat. Anello: 28,40%, Rit.1,9"

L'intersezione a rotatoria presenta una saturazione delle corsie di ingresso compresa tra il 18.00% e il 23.00%, mentre l'anello nel tratto corrispondente è caratterizzato da una saturazione compresa tra il 28,00% e il 35,00%. I tempi di ritardo cono inferiori ai 10" per veicolo, i L.O.S. corrispondenti sono di classe A.

6.3) 12 Intersezione SP 40-corso Sant'Ignazio da Santhià

L'intersezione è stata analizzata facendo ricorso al modello proposto dall'H.C.M per intersezioni a raso libere. Utilizzando la domanda di trasporto attuale i risultatati ottenuti sono stati:

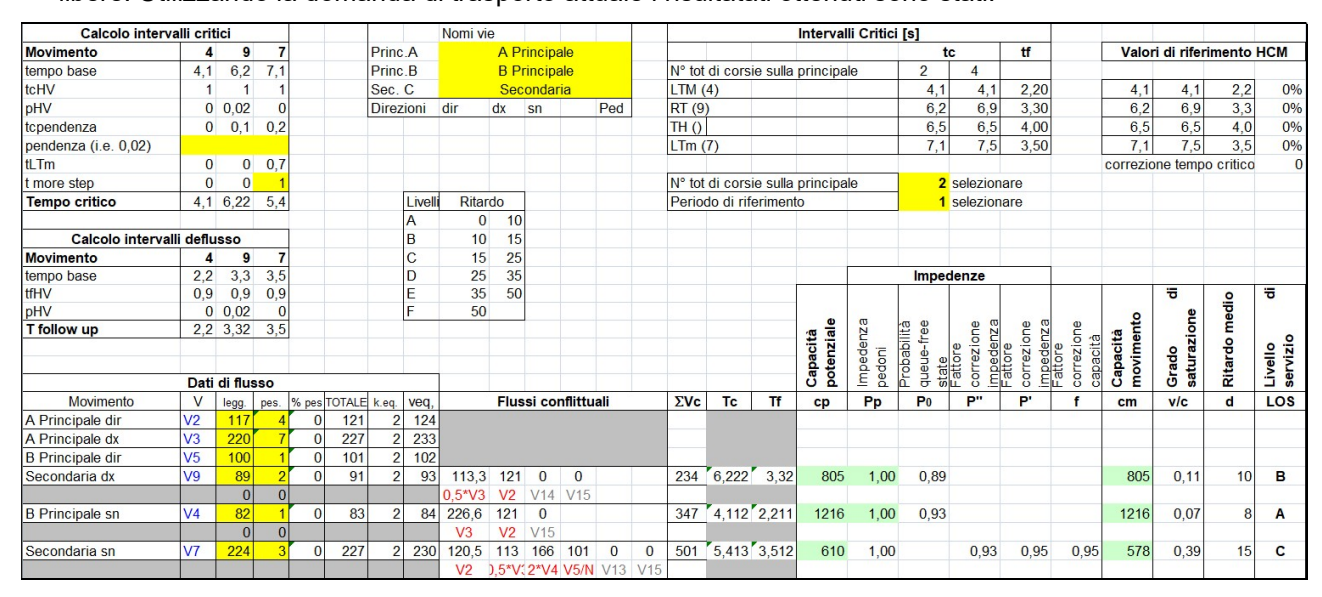


Tabella 14: Intersezione SP40 - corso Sant'Ignazio da Santhià - F/C e Ritardi modello HCM - Stato di fatto

I movimenti conflittuali sull'intersezione sono rappresentati dalle manovre seguenti manovre:

- Manovra V4 svolta sinistra da SP 40 a Aosta, Sat.11.00%, ritardo 10", LdS B;
- Manovra V7 svolta sinistra da c.so Aosta, Sat. 39.00%, ritardo 15", LdS C;
- Manovra V9 svolta a destra da c.so Aosta a SP 40, Sat.7.00, ritardo 8", LdS A.

6.4) 13 intersezione SP 40 - Strada mandria

L'intersezione libera a raso tra strada Mandria e la SP 40 è stata veficata con il metodo proposto da HCM.

Calcolo inter					Nomi vi	е					8			Interval	li Critici	[s]										
Movimento	4	9	7			Princ	Α.		SP 4	0 Cer	itro								t	c	tf		Valor	i di rifer	imento	HCM
tempo base	4,1	6,2	7,1			Princ	.B		SP 4	0 este	rna			N° tot	di corsi	ie sulla	principa	le	2	4						
tcHV	1	1	1			Sec.	С		Str.	Mand	ria			LTM (4)				4,1	4,1	2,20		4,1	4,1	2,2	0%
pHV	0,3	0,5	0,4			Direz	zioni	dir	dx	sn		Ped		RT (9)				6,2	6,9	3,30		6,2	6,9	3,3	0%
tcpendenza	0	0,1	0,2											TH ()					6,5	6,5	4,00		6,5	6,5	4,0 3,5	0%
pendenza (i.e. 0,02)														LTm (7)				7,1	7,5			7,1	7,5	3,5	0%
tLTm	0	0	0,7																				correzio	ne temp	o critico	0
t more step	0	0	1											N° tot	di corsi	ie sulla	principa	le	2	selezio	nare					
Tempo critico	4.4	6.7	5,8				Livell	Ritar	rdo					Perio	do di rife	eriment	0		1	selezio	nare					
							Α	0	10																	
Calcolo interva	alli deflu	sso					В	10	15																	
Movimento	4	9	7				С	15	25																	
tempo base	2,2	3,3	3,5				D	25	35										Impe	denze						
tfHV	0,9	0,9	0,9				Е	35	50															ਰ	0	ᇹ
pHV	0,3	0,5	0,4				F	50									00		100 miles				0	<u>o</u>	medio	
T follow up	2,5	3,75	3,9														Capacità potenziale	Impedenza pedoni	Probabilità queue-free state	Fattore correzione impedenza	Fattore correzione impedenza	Fattore correzione capacità	Capacità movimento	Grado saturazione	Ē	0
																	Capacità potenzia	n de	e-f	Fattore	der der	Fattore correzior capacità	Capacità movimen	az o	Ritardo	Livello servizio
																	aps ote	Impede	do Ja	atto orre	atto Pre	attc orre	ap o	Grado	ta	Livello servizi
		di flus	sso														Ü å					E 8 8	ŰΕ	,	2	
Movimento	V	legg.	pes.	% pes		k.eq.	veq,		Flus	si co	nflittu	ali		ΣVc	Tc	Tf	ср	Pp	P ₀	P"	P'	f	cm	v/c	d	LOS
SP 40 Centro dir	V2	207	6	0	213	2	219	-																11111		
SP 40 Centro dx	V3	4	0	0	4,12	2	4,2																			
SP 40 esterna dir	V5	180	1	0	181	2	182																			
Str. Mandria dx	V9	2	2	0,5	4	2	6	2,06	213	0	0			215	6,7	3,75	718	1,00	0,99				718	0,01	10	В
		0	0					0,5*V3	V2	V14	V15															
SP 40 esterna sn	V4	2	1	0,3	3	2	4	4,12	213	0				217	4,433	2,5	1187	1,00	1,00				1187	0,00	8	Α
		0	0					V3	V2	V15																
Str. Mandria sn	V7	4	3	0,4	7	2	10	213,2	2,1	6	181	0	0	402	5,829	3,886	595	1,00		1,00	1,00	1,00	594	0,01	11	В
								V2),5*V	2*V4	V5/N	V13	V15									111111				

Tabella 15: Intersezione SP40 – strada Mandria – F/C e Ritardi modello HCM – Stato di fatto

I movimenti conflittuali dell'intersezione, rappresentati dalle manovre di svolta a sinistra e dall'immissione in mano destra dalla strada secondaria locale, presentano saturazioni inferiori al 10% del rapporto flusso/capacità, tempi di ritardo per veicolo compresi tra 8" e 11" con Livelli di Servizio di tipo A/B.

6.5) S2 Strada Mandria

Il tratto è stato analizzato facendo ricorso al modello proposto dall'H.C.M per sezioni rettilinee. I risultati ottenuti e proposti dal modello sono stati:

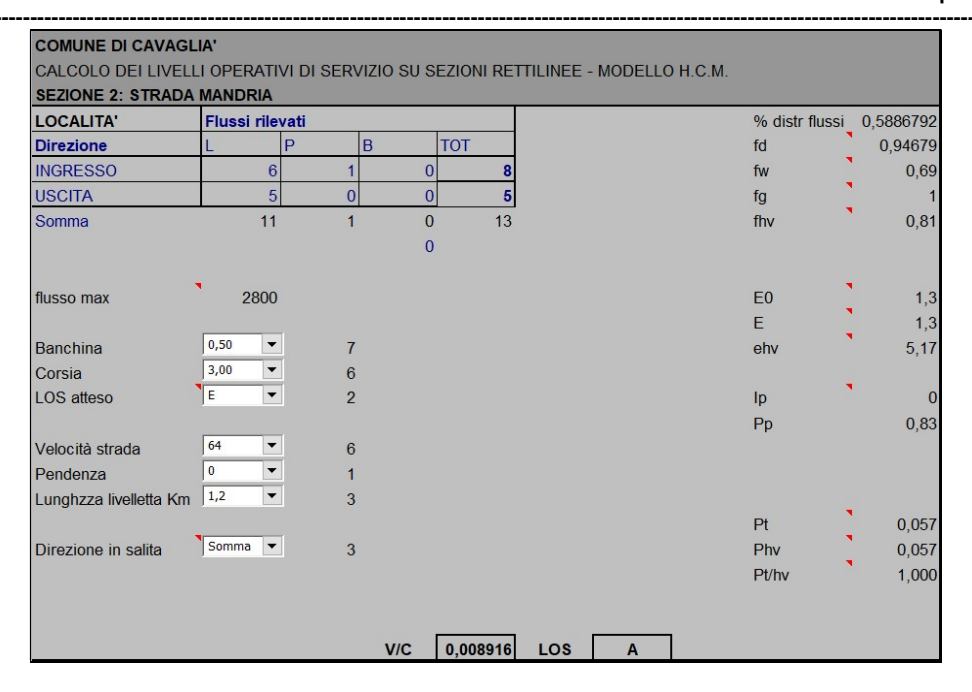


Tabella 16: Strada Mandria - F/C nello stato di fatto

Utilizzando una capacità teorica massima con curva di deflusso pari a 2,57 sec./veicolo si ha un rapporto Flusso/Capacità dello 0,0089 corrispondente a LOS A e una riserva di capacità superiore al 90,00%.

6.6) S3 SP 40

Il tratto è stato analizzato facendo ricorso al modello proposto dall'H.C.M per sezioni rettilinee. I risultati ottenuti e proposti dal modello sono stati:

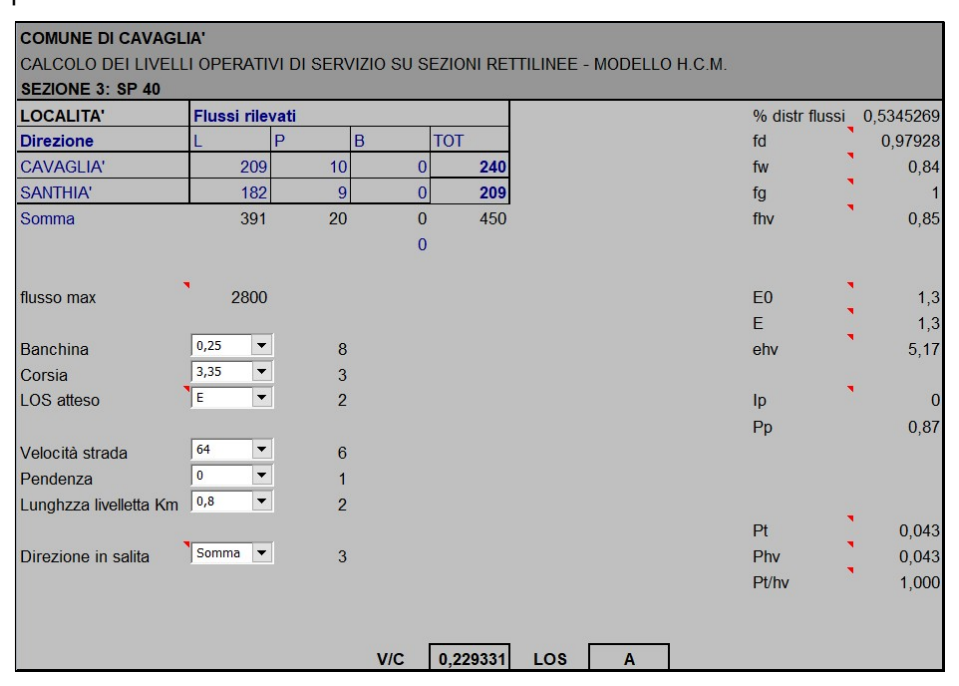


Tabella 17: SP 40 - F/C nello stato di fatto

Utilizzando una capacità teorica massima con curva di deflusso pari a 2,57 sec./veicolo si ha un rapporto Flusso/Capacità dello 0,2293 corrispondente a LOS A e una riserva ci capacità del 77.07%.

6.7) I4 Intersezione SP 40-cascina Alba

L'intersezione rappresenta il nodo di accesso all'impianto di trattamento del materiale da scavo. La verifica condotta sull'intersezione libera a raso con la domanda di trasporto attuale ha prodotto i seguenti risultati.

Calcolo interva				Nomi vi	е								Interva													
Movimento	4	9	7			Princ	.A.	SI	SP 40 lato Cavaglià											tc	tf		Valor	i di rifer	imento	HCM
tempo base	4,1	6,2	7,1			Princ	.B	S	P 40	lato Sa	anthià			N° tot	di cors	ie sulla	principa	ale	2	4						
tcHV	1	1	1			Sec.	С		Caso	cina A	lba			LTM (4)				4,	1 4	,1 2,20	0	4,1	4,1	2,2	0%
pHV	0,9	0,91	0			Direz	zioni	dir	dx	sn		Ped		RT (9))				6,2	2 6	,9 3,30)	6,2	6,9	3,3	0%
tcpendenza	0	0,1	0,2											TH()					6,5	5 6	,5 4,00)	6,5	6,5	4,0	0%
pendenza (i.e. 0,02)														LTm (7)				7,	1 7	,5 3,50	0	7,1	7,5	3,5	0%
tLTm	0	0	0,7																				correzio	ne temp	critico	C
t more step	0	0	1											N° tot	di cors	ie sulla	principa	ale	- 2	selezi	onare					
Tempo critico	5	7,11	5,4				Livelli	Ritar	do					Period	do di rit	feriment	to			selezi	ionare					
							Α	0	10																	
Calcolo interval	li deflu	sso					В	10	15																	
Movimento	4	9	7				С	15	25																	
tempo base	2,2	3,3	3,5				D	25	35										Impe	denze						
tfHV	0,9	0,9	0,9				E	35																ᅙ	0	i
pHV	0,9	0,91	0				F	50										_	20 000	100			0	9	B	7117
T follow up	3	4,12	3,5														<u>a</u> <u>a</u>	Impedenza pedoni	Probabilità queue-free	Fattore	Fattore correzione	Fattore correzione	Capacità movimento	Grado saturazione	Ritardo medio	_
																	nzi	P. G	e-f	azio	der der	SZIC TE	E C	az lo	8	o iz
																	Capacità potenzial	Impede	Proba queue	Fattore	atte ar	Fattore correzione	Capacità movimen	Grado	ta	Livello servizio
	_	di flus															υğ					Em 8 8	ŰΕ	- "		
Movimento	V	legg.	pes.	% pes	TOTALE		veq,		Flus	ssi co	nflittu	ali		ΣVc	Tc	Tf	ср	Pp	P ₀	P"	P'	f	cm	v/c	d	LOS
SP 40 lato Cavaglià dir	V2	172	5	0	177	2																				
SP 40 lato Cavaglià dx	V3	1	0	0	1,03																					
SP 40 lato Santhià dir	V5	199	1	0	200											_										
Cascina Alba dx	V9	1	10	0,9	11	2	21	0,515	177	0	0			178	7,109	4,118	680	1,00	0,98	3			680	0,02	10	В
		0	0					0,5*V3	V2	V14	V15															
SP 40 lato Santhià sn	V4	1	10	0,9	11	2	21	1,03	177	0				178	5,009	3,018	1002	1,00	0,99	9			1002	0,01	9	Α
		0	0					V3	V2	V15																
Cascina Alba sn	V7	2	0	0	2	2	2	177,2	0,5	22	200	0	0	400	5,4	3,5	682	1,00		0,9	99 0,99	0,99	676	0,00	10	В
	100							V2),5*V	2*V4	V5/N	V13	V15													

Tabella 18: Intersezione SP40 - Cascina Alba - F/C e Ritardi modello HCM - Stato di fatto

I movimenti conflittuali dell'intersezione, rappresentati dalle manovre di svolta a sinistra e dall'immissione in mano destra dalla strada secondaria locale, presentano saturazioni inferiori al 10% del rapporto flusso/capacità, tempi di ritardo per veicolo compresi tra 9" e 10" con Livelli di Servizio di tipo A/B.

6.8) S4 SP 40 tratto via Santhià

Il tratto è stato analizzato facendo ricorso al modello proposto dall'H.C.M per sezioni rettilinee. I risultati ottenuti e proposti dal modello sono stati:

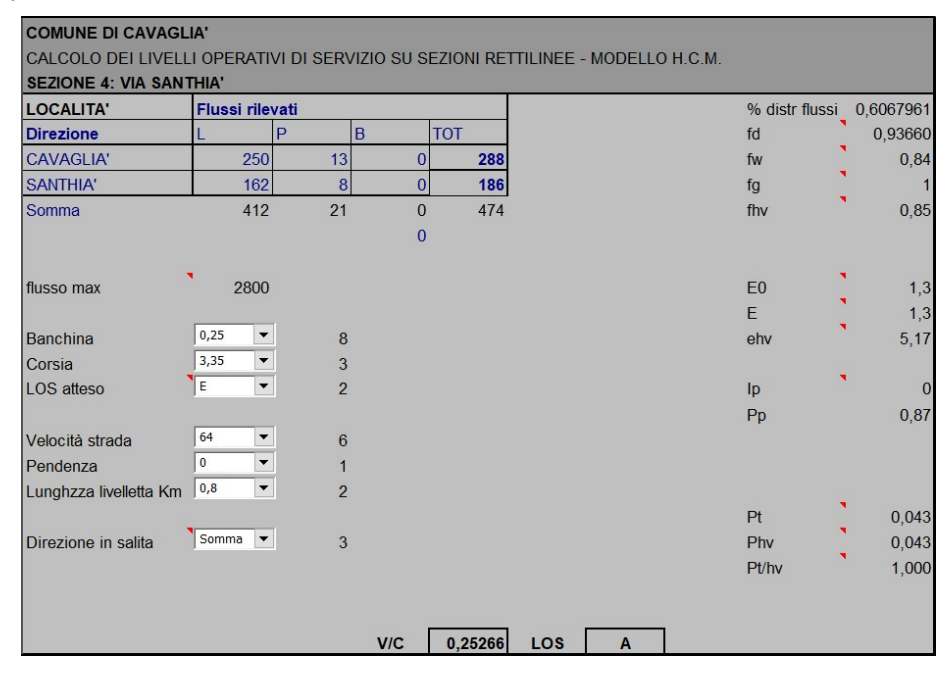


Tabella 19: SP 40 VIA SANTHIA' - F/C nello stato di fatto

Utilizzando una capacità teorica massima con curva di deflusso pari a 2,57 sec./veicolo si ha un rapporto Flusso/Capacità dello 0,2526 corrispondente a LOS A e una riserva ci capacità del 74,74%.

6.9) S5 SP 593 tratto via Cavaglià

Il tratto è stato analizzato facendo ricorso al modello proposto dall'H.C.M per sezioni rettilinee. I risultati ottenuti e proposti dal modello sono stati:

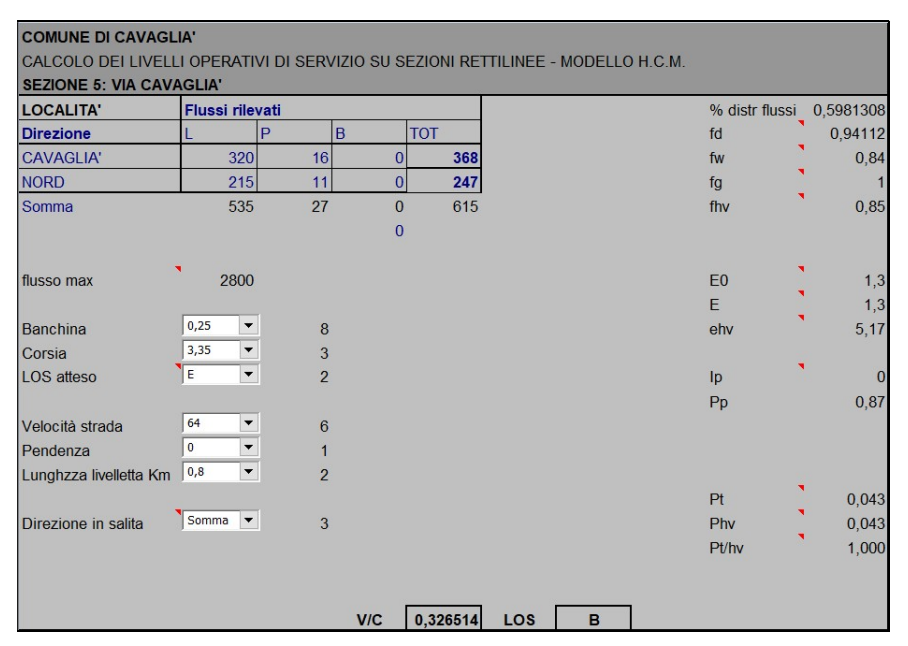


Tabella 20: SP 593 VIA CAVAGLIA' - F/C nello stato di fatto

Utilizzando una capacità teorica massima con curva di deflusso pari a 2,57 sec./veicolo si ha un rapporto Flusso/Capacità dello 0,3265 corrispondente a LOS B e una riserva ci capacità del 67.35%.

6.10) 15 Intersezione via Cavaglià-Strada Valledora

Durante la verifica i risultati ottenuti sono stati:

Calcolo interva	Calcolo intervalli critici							Nomi vi	е		-						Interva									
Movimento	4	9	7			Princ	.A	SF	593	lato C	avaglia	à								tc	tf		Valor	i di rifer	imento	HCM
tempo base	4,1	6,2	7,1			Princ	.B	5	SP 59	3 lato	Nord			N° tot	di cors	ie sulla	principa	ale	2	4						
tcHV	1	1	1			Sec.	С		Strac	a Valo	dora			LTM ((4)				4,	4,1	2,20		4,1	4,1	2,2	0%
pHV	0,5	0,67	0,1			Direz	ioni	dir	dx	sn		Ped		RT (9)				6,2	6,9	3,30		6,2	6,9	3,3	0%
tcpendenza	0	0,1	0,2											TH ()					6,5	6,5	4,00		6,5	6,5	4,0	0%
pendenza (i.e. 0,02)														LTm ((7)				7,	7,5	3,50		7,1	7,5	3,5	0%
tLTm	0	0	0,7																				correzio	ne temp	o critico	(
t more step	0	0	1											N° tot	di cors	ie sulla	principa	ale	- :	selezior	nare					
Tempo critico	4,6	6,87	5,5				Livelli	Ritar	rdo					Perio	do di rif	erimen	to			selezior	nare					
							Α	0	10																	
Calcolo intervall	i deflu	isso					В	10	15																	
Movimento	4	9	7				С	15	25																	
tempo base	2,2	3,3	3,5				D	25	35										Impe	denze						
tfHV	0,9	0,9	0,9				E	35																ē	0	ᇹ
pHV	0,5	0,67	0,1				F	50										_	30 60				0	9	ed	
T follow up	2,7	3,9	3,6														<u>a</u> <u>a</u>	Za	ità ee	ane Zza	ane Zza	a ue	ar t	<u>.</u>	Ε	_
																	nzi	n de	e-f	azio der	azic der	re szic	i ci	lo	S	o iz
																	Capacità potenziale	Impedenz pedoni	Probabilità queue-free	Fattore correzione impedenza	Fattore correzione impedenza	Fattore correzione capacità	Capacità movimento	Grado saturazione	Ritardo medio	Livello servizio
	_	di flus															O F					шöö	ÜE			
Movimento	V	legg.	pes.		TOTALE		veq,		Flus	ssi co	nflittu	ali		ΣVc	Tc	Tf	ср	Pp	P ₀	P"	P'	f	cm	v/c	d	LOS
SP 593 lato Cavaglià dir		198	6	0	204	2	210																			
SP 593 lato Cavaglià dx		17	1	0	17,5		18																			
SP 593 lato Nord dir	V5	300	1	0	301	2	302																			
Strada Valdora dx	V9	10	20	0,7	30	2	50	8,755		-	0			213	6,867	3,9	689	1,00	0,96	3			689	0,04	10	В
		0	0					0,5*V3		V14	V15															
SP 593 lato Nord sn	V4	10	10	0,5	20	2	30		204	0				221	4,6	2,65	1109	1,00	0,98	3			1109	0,02	8	Α
		0	0					V3	V2	V15																
Strada Valdora sn	V7	15	2	0,1	17	2	19		8,8	40	301	0	0	554	5,518	3,606	557	1,00		0,98	0,99	0,99	549	0,03	12	В
								V2),5*V	2*V4	V5/N	V13	V15												11.1	

Tabella 21: Intersezione SP593 – Strada Valledora – F/C e Ritardi modello HCM – Stato di fatto

Anche in questo caso i movimenti conflittuali dell'intersezione sono rappresentati dalle manovre di svolta a sinistra e dall'immissione in mano destra dalla strada secondaria locale. I LdS sono di tipo A/B con tempi di ritardo per veicolo stimati tra 8" e 12".

6.11) S6 Strada Valledora

Il tratto è stato analizzato facendo ricorso al modello proposto dall'H.C.M per sezioni rettilinee. I risultati ottenuti e proposti dal modello sono stati:

A STATE OF THE PARTY OF THE PAR					- MODELLO H.C.M.			
SEZIONE 6: STRADA	VALLEDO	RA						
LOCALITA'	Flussi rile	vati				% distr f	lussi	0,5645161
Direzione	L	Р	В	TOT		fd	•	0,96129
SP 593	35	7	(56		fw		0,84
EST	27	5	(43		fg		1
Somma	62	12	C	99		fhv	3	0,66
			()				
	•							
flusso max	2800					E0		1,3
						E		1,3
Banchina	0,25 ▼	8				ehv	•	5,17
Corsia	3,35 ▼	3						
LOS atteso	E ▼	2				lp	7	0
						Pp		0,63
Velocità strada	64 ▼	6						
Pendenza	0 🔻	1						
Lunghzza livelletta Km	0,8	2						
•						Pt	•	0,125
Direzione in salita	Somma ▼	3				Phy	•	0,125
						Pt/hv		1,000
						1 7 11 1		.,,

Tabella 22: STRADA VALLEDORA - F/C nello stato di fatto

Utilizzando una capacità teorica massima con curva di deflusso pari a 2,57 sec./veicolo si ha un rapporto Flusso/Capacità dello 0,0663 corrispondente a LOS A e una riserva ci capacità del 93,37%.

In generale, nello stato di fatto la rete viaria in esame presenta Livelli Operativi di Servizio (LdS), compresi tra le categorie A/C.

I tratti rettilinei della SP 143, SP 40 e della SP 593 fanno emergere rapporti Flusso/capacità compresi tra il 25% e il 35% della capacità teorica.

L'intersezione a rotatoria tra la SP 143 con le viabilità locali evidenzia una saturazione dei rami di accesso compresa tra il 18% e 23% con tempi stimati di ritardo per veicolo inferiori ai 10".

I movimenti conflittuali delle intersezioni libere a raso analizzate presentano saturazioni comprese tra il 5% e il 39% con tempi di ritardo stimati di 7"/15" e LdS di categoria B/C.

Nel complesso la rete appare poco sollecitata con ampie riserve di capacità. Nella figura successiva nell'allegato D sono riassunti i valori delle verifiche quantitative effettuate.

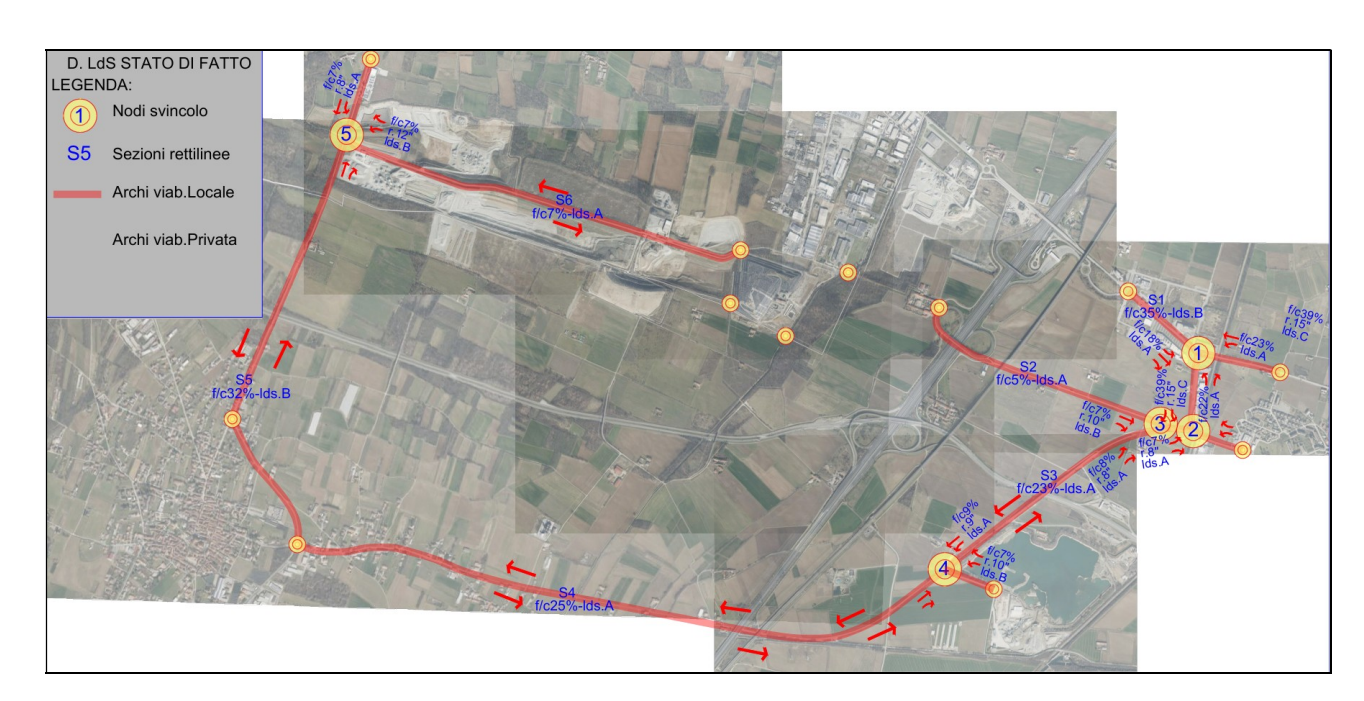


Figura 8: Livelli Operativi di Servizio rete viaria nello stato di fatto

7) SCENARI DI PROGETTO

Nel Capitolo 3 è stato affrontato il tema della quantificazione della domanda di trasporto indotta dall'intervento. Ricordiamo che l'indotto stimato era pari a:

√ produzione giornaliera: 1.000 mc/giorno

√ capacità di carico mezzi di trasporto utilizzati. 20.00 mc

✓ intervallo giornaliero di operatività dell'impianto. 7.00-12.00/13.00-18.00

da cui derivavano:

• numero di viaggi/giorno dei mezzi d'opera generati: 1.000/20 = 50 viaggi/giorno

numero di viaggi/ora generati: 50/10 = 5 viaggi/ora

La verifica degli effetti sul sistema viario derivanti dalla distribuzione sulla rete della nuova domanda di trasporto è stata condotta facendo riferimento a due diversi scenari di impiego delle infrastrutture stradali:

- un primo scenario che utilizza la sola viabilità pubblica per la connessione dei due siti (scavo e trattamento);;
- un secondo scenario che utilizza tratti di viabilità pubblica e tratti di tracciato all'interno di proprietà private con l'obiettivo di minimizzare il percorso.

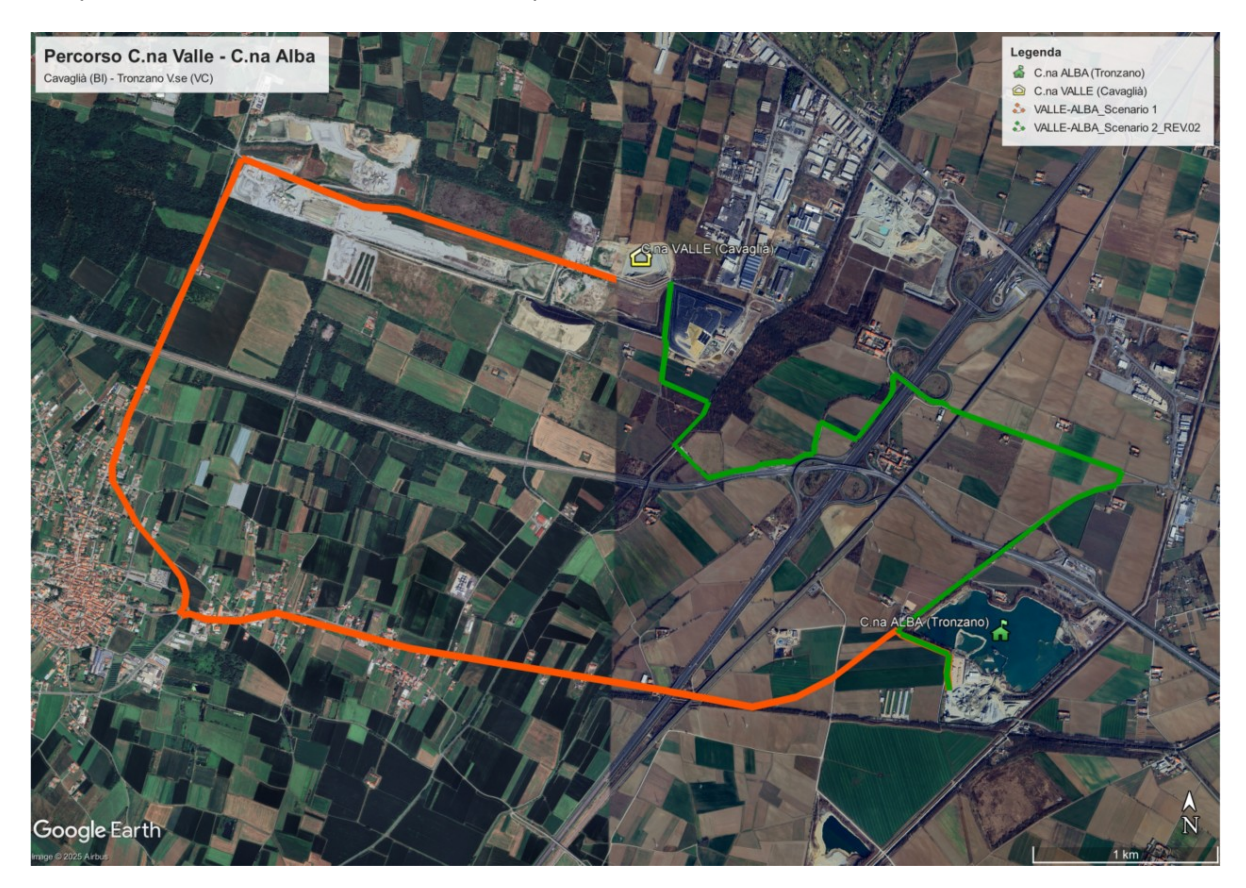


Figura 9: tracciati dei percorsi di scenario 1 e scenario 2 (fonte:Google Earth)

Nel dettaglio:

Scenario: utilizzo della rete stradale esistente per la connessione di Cascina Valle (sito di estrazione) con Cascina Alba (sito di trattamento). Il percorso interessa tratti della SP 593 e della SP 40 con uno sviluppo di 9,36 km. Resta inalterata la connessione con la viabilità di gerarchia superiore (A4) attraverso corso Aosta e la SP 143:

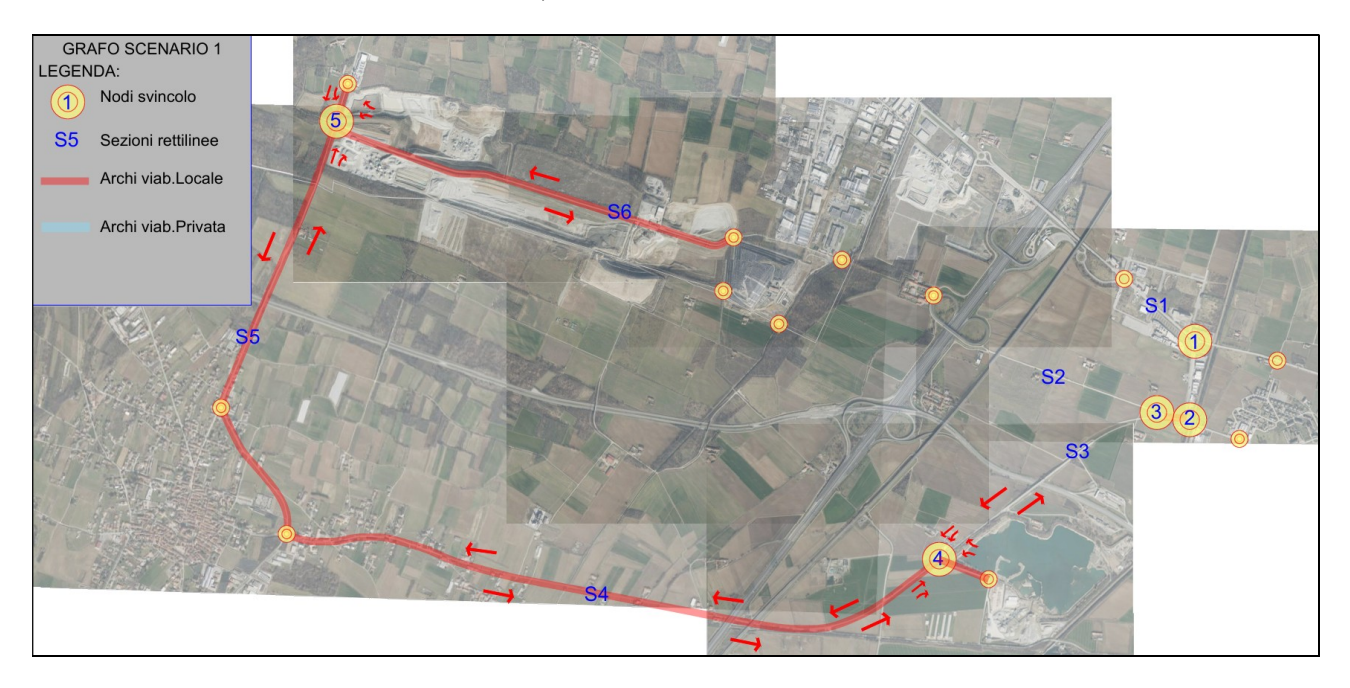


Figura 10: connessione sito Cascina Valle con sito Cascina Alba nello scenario 1

Scenario: percorso misto con utilizzo di tratti su aree private per l'ottimizzazione della connessione tra i due siti. Sviluppo del percorso 6,14 km. Resta inalterata la connessione con la viabilità di gerarchia superiore (A4) attraverso corso Aosta e la SP 143;

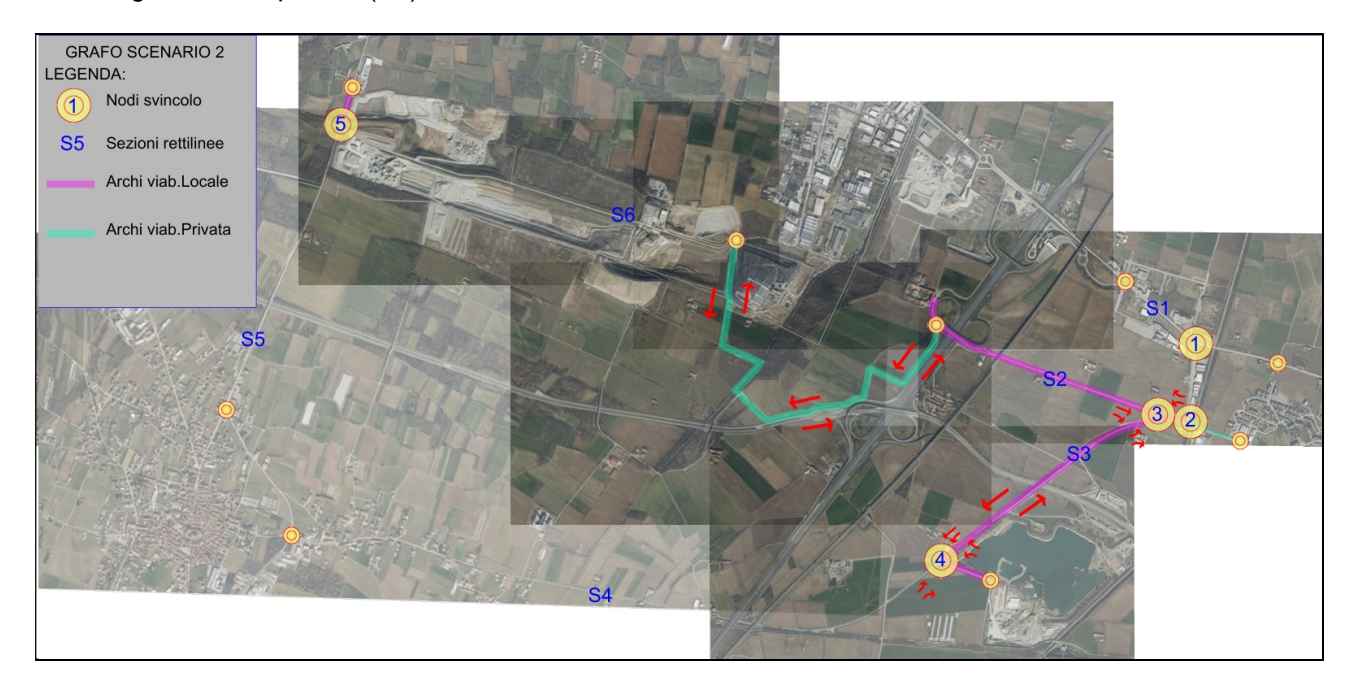


Figura 11: connessione sito Cascina Valle con sito Cascina Alba nello scenario 2

Studio Arch. Vincenzo Curti Rev 1 - 08- 2025

35

La verifica quantitativa condotta sui due scenari ha riguardato Archi e Nodi del grafo di rete interessati dall'aumento dei flussi di traffico derivati dall'assegnazione della domanda indotta.

7.1) Livelli di Servizio rete viaria nello Scenario 1

La domanda di trasporto considerata è data dalla somma dei flussi attuali e dell'indotto stimato:

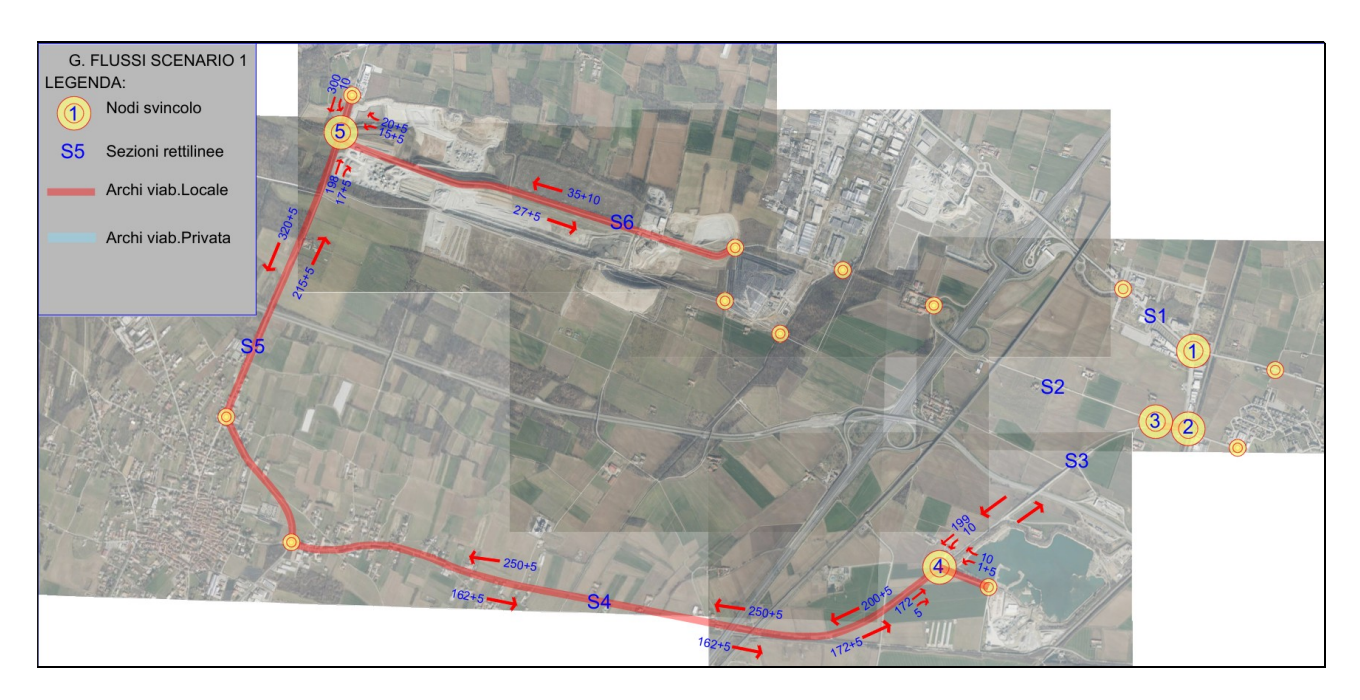


Figura 12: domanda di trasporto stimata per lo scenario 1 – connessione dei siti attraverso sola viabilità pubblica

Le sezioni interessate dall'incremento di traffico previsto sono state nuovamente verificate attraverso l'applicazione dei modelli quantitativi utilizzati nella verifica dello stato di fatto e precisamente:

- I4 Intersezione SP 40-cascina Alba;
- S4 SP 40 tratto Dir. Santhià;
- S5 SP 593 tratto via Cavaglià;
- 15 Intersezione via Cavaglià-Strada Valledora;
- S6 Strada Valledora.

7.1.1) <u>I4 Intersezione SP 40-cascina Alba</u>

L'intersezione rappresenta il nodo di accesso all'impianto di trattamento del materiale da scavo.

La verifica condotta sull'intersezione libera a raso con la domanda di stimata ha prodotto i seguenti risultati.

Calcolo interv	alli crit	ici						Nomi vi	е								Interval	lli Critic	i [s]								
Movimento	4	9	7			Princ	.A	SF	40 la	ato Ca	vaglià									tc		tf		Valor	i di riferi	imento	HCM
tempo base	4,1	6,2	7,1			Princ	.B	S	P 40	lato Sa	anthià			N° tot	di cors	ie sulla	principa	le	2		4						
tcHV	1	- 1	1			Sec.	С		Caso	cina Al	lba			LTM (4)				4	,1	4,1	2,2	0	4,1	4,1	2,2 3,3	0%
pHV	0,9	0,91	0,7			Direz	ioni	dir	dx	sn		Ped		RT (9)				6	,2	6,9	3,3	0	6,2	6,9	3,3	0%
tcpendenza	0	0,1	0,2											TH ()					6	,5	6,5	4,0	0	6,5	6,5	4,0	0%
pendenza (i.e. 0,02)														LTm (7)				7	,1	7,5	3,5	0	7,1	7,5	3,5	0%
tLTm	0	0	0,7																					correzio	ne tempo	critico	C
t more step	0	0	1							,				N° tot	di cors	ie sulla	principa	ile		2 se	lezio	nare					
Tempo critico	5	7,11	6,1				Livelli	Ritar	do					Period	do di rif	eriment	to			1 se	elezio	nare					
							Α	0	10																		
Calcolo interval	li deflu	ISSO					В	10	15																		
Movimento	4	9	7				С	15	25																		
tempo base	2,2	3,3	3,5				D	25	35										lmp	oeder	nze						
tfHV	0,9		0,9				E	35	50																ē	0	di
pHV		0,91	0,7				F	50										_			-			0	စ္	medio	
T follow up	3	4,12	4,1														12 E	LZ9	E e		one 77	e e	one é	# E	.0	Ε	0
																	aci	- g ∈	ap e-f	e e	Szic	ezic	ezic ezic	ᆵ	a S	둳	Zi e
																	Capacità potenziale	Impedenza	Probabilità queue-free	state Fattore	DIT.	Fattore	Eattore correzione	Capacità movimento	Grado saturazione	Ritardo	Livello servizio
		di flus																					<u>⊑ 11 8 8</u>		- "	œ	
Movimento	V	legg.	pes.				veq,		Flus	ssi cor	nflittu	ali		ΣVc	Tc	Tf	ср	Pp	P ₀		P"	P'	f	cm	v/c	d	LOS
SP 40 lato Cavaglià dir	V2	172	5	0	177	2	182																				
SP 40 lato Cavaglià dx	V3	1	5	0,8	6	2	11																				
SP 40 lato Santhià dir	V5	199	1	0	200	2	201																				
Cascina Alba dx	V9	1	10	0,9	11	2	21		177		0			180	7,109	4,118	678	1,00	0,9	98				678	0,02	10	В
		0	0					0,5*V3	V2	V14	V15																
SP 40 lato Santhià sn	V4	1	10	0,9	11	2	21	6	177	0				183	5,009	3,018	997	1,00	0,9	99				997	0,01	9	Α
		0	0					V3	V2	V15																	
Cascina Alba sn	V7	2	5	0,7	7	2	12		3		200	0	0	402	6,114	4,143	548	1,00)		0,99	0,9	9 0,99	544	0,01	12	В
								V2),5*V	(2*V4	V5/N	V13	V15														

Tabella 23: Intersezione SP40 - Cascina Alba - F/C e Ritardi modello HCM - Scenario 1

Confrontando i valori ottenuti con i precedenti relativi allo stato di fatto osserviamo come i livelli di servizio rimangano inalterati. La sola variazione interessa la manovra di svolta a sinistra in uscita da Cascina Alba con un aumento del tempo medio di ritardo che passa dai 10" precedenti agli attuali 12" con LdS di categoria B confermata (range 10"-15").

7.1.2) S4 SP 40 tratto dir. Santhià

Il tratto è stato nuovamente analizzato facendo ricorso al modello proposto dall'H.C.M per sezioni rettilinee.

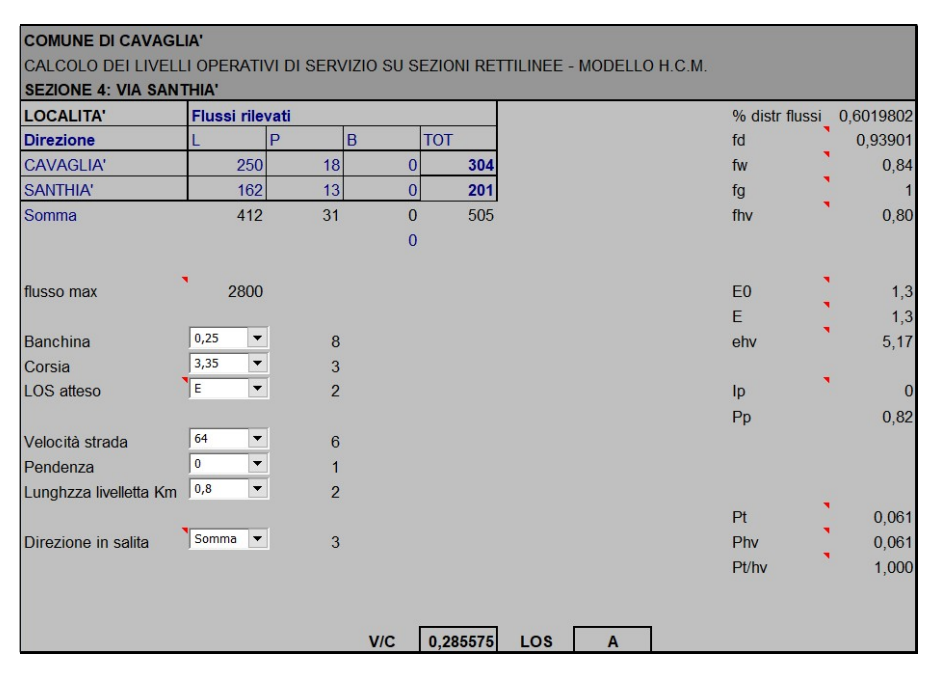


Tabella 24: SP 40 VIA SANTHIA' - F/C nello scenario 1

Utilizzando una capacità teorica massima con curva di deflusso pari a 2,57 sec./veicolo si ha un rapporto Flusso/Capacità dello 0,2855 corrispondente a LOS A e una riserva ci capacità del 71,45%.

7.1.3) S5 SP 593 tratto via Cavaglià

Il tratto è stato analizzato facendo ricorso al modello proposto dall'H.C.M per sezioni rettilinee. I risultati ottenuti e proposti dal modello sono stati:

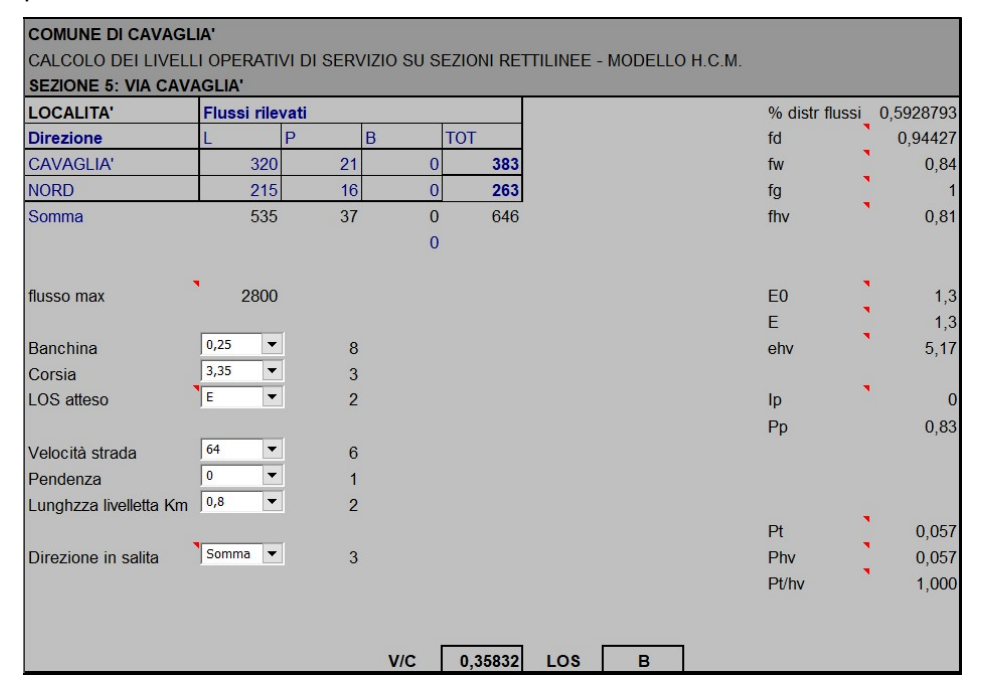


Tabella 25: SP 593 VIA CAVAGLIA' - F/C nello scenario 1

Utilizzando una capacità teorica massima con curva di deflusso pari a 2,57 sec./veicolo si ha un rapporto Flusso/Capacità dello 0,35,83 corrispondente a LOS B e una riserva ci capacità del 64,17%.

7.1.4) I5 Intersezione via Cavaglià-Strada Valledora

Durante la verifica i risultati ottenuti sono stati:

Studio Arch. Vincenzo Curti

Calcolo interva	ılli crit	ici						Nomi vi	е								Interva	lli Critic	[s]								
Movimento	4	9	7			Princ	.A	SF	593	lato Ca	avaglià	à								tc		tf		Valor	i di rifer	imento	НСМ
tempo base	4,1	6,2	7,1			Princ	.B	5	SP 593	3 lato l	Nord			N° tot	di cors	ie sulla	principa	ale	2		4						
tcHV	1	1	1			Sec.	С		Strad	a Vald	lora			LTM ((4)				4,	1	4,1	2,20		4,1	4,1	2,2	0%
pHV	0,7	0,75	0,4			Direz	ioni	dir	dx	sn		Ped		RT (9)				6,	2	6,9	3,30		6,2	6,9	3,3	0%
tcpendenza	0	0,1	0,2											TH ()					6,	5	6,5	4,00		6,5	6,5	4,0	0%
pendenza (i.e. 0,02)														LTm ((7)				7,	1	7,5	3,50		7,1	7,5	3,5	0%
tLTm	0	0	0,7																					correzio	ne temp	critico	(
t more step	0	0	1											N° tot	di cors	ie sulla	principa	ile		2 sel	ezion	are					
Tempo critico	4,8	6,95	5,8				Livelli	Ritar	do					Perio	do di rif	eriment	to			1 sel	eziona	are					
							Α	0	10																		
Calcolo intervall	i deflu	sso					В	10	15																		
Movimento	4	9	7				С	15	25																		
tempo base	2,2	3,3	3,5				D	25											Imp	eden	ze						
tfHV	0,9	0,9	0,9				Е	35	50										·						₽	0	ਰ
pHV	0,7	0,75	0,4				F	50										1	NO. 0157			200		0	<u>o</u>	medio	
T follow up	2,8	3,98	3,9														<u>a</u> <u>a</u>	Zza	ità		ne Za	ne Iza	e _	a ti	0		
		10,000															Zi Zi	e e	abil e-fr	Φ.	de z	함호일	zio	i či	92	용	Zi O
																	Capacità potenziale	Impedenza	Probabilità queue-free	state Fattore	correzione	rattore correzione impedenza	Fattore correzione capacità	Capacità movimento	Grado saturazione	Ritardo	Livello
	Dati	di flus	SO														üğ	트월	로 육.	T S	8 E	E S E	E 8 8	ŰΕ	2 g	涩	
Movimento	V	legg.	pes.	% pes	TOTALE		veq,		Flus	si cor	ıflittu	ali		ΣVc	Tc	Tf	ср	Pp	P ₀	F	ייכ	P'	f	cm	v/c	d	LOS
SP 593 lato Cavaglià dir	V2	198	10	0	208		218																		11111		
SP 593 lato Cavaglià dx	V3	17	10	0,4	27	2	37																				
SP 593 lato Nord dir	V5	300	3	0	303		306																				
Strada Valdora dx	V9	10	30	0,8	40	2	70	13,5	208	0	0			222	6,95	3,975	666	1,00	0,9	4				666	0,06	11	В
		0	0					0,5*V3	V2	V14	V15																
SP 593 lato Nord sn	V4	10	20	0,7	30	2	50	27	208	0				235	4,767	2,8	1031	1,00	0,9	7				1031	0,03	9	Α
		0	0					V3	V2	V15																	
Strada Valdora sn	V7	15	12	0,4	27	2	39	208	14	60	303	0	0	585	5,844	3,9	482	1,00			0,97	0,98	0,98	472	0,06	13	В
The state of the s								V2),5*V3	2*V4	V5/N	V13	V15		4800												

Tabella 26: Intersezione SP593 - Strada Valledora - F/C e Ritardi modello HCM - Scenario 1

Anche in questo caso i movimenti conflittuali dell'intersezione sono rappresentati dalle manovre di svolta a sinistra e dall'immissione in mano destra dalla strada secondaria locale. I LdS sono di tipo A/B con tempi di ritardo per veicolo stimati tra 9" e 13".

7.1.5) S6 Strada Valledora

Il tratto è stato analizzato facendo ricorso al modello proposto dall'H.C.M per sezioni rettilinee. I risultati ottenuti e proposti dal modello sono stati:

LOCALITA'	Flussi rile	vati				% distr f	ussi 0	,5546875
Direzione	L	Р	В	TOT		fd	•	0,96719
SP 593	35	12	C	71		fw		0,84
EST	27	10	C	57		fg	1	
Somma	62	22	C	128		fhv	•	0,58
			C)				
flusso max	2800					E0	•	1,3
						E	•	1,3
Banchina	0,25	8				ehv	•	5,17
Corsia	3,35	3						
LOS atteso	E ▼	2				lp	1	(
						Pp		0,48
Velocità strada	64 ▼	6						
Pendenza	0 🔻	1						
Lunghzza livelletta Km	0,8 ▼	2						
						Pt		0,172
Direzione in salita	Somma ▼	3				Phv	,	0,172
						Pt/hv	3	1,000

Tabella 27: STRADA VALLEDORA - F/C nello scenario 1

Utilizzando una capacità teorica massima con curva di deflusso pari a 2,57 sec./veicolo si ha un rapporto Flusso/Capacità dello 0,0960 corrispondente a LOS A e una riserva ci capacità del 90,40%.

Nella tabella successiva vengono messi a confronto i valori delle variabili sensibili nello stato di fatto e nello scenario di progetto identificato con il numero 1.

					STATO DI FATT	0				SCENARIO 1				DELTA
				RISERVA	SATURAZIONE	RITARDO MEDIO			RISERVA CAPACITA'	SATURAZIONE	RITARDO MEDIO			RITARI
SEZIONE	IDENTIFICAZIONE	MOVIMENTO	V/C (%)	CAPACITA' (%)	ANELLO (%)	(SEC.)	L.O.S.	V/C (%)	(%)	ANELLO (%)	(SEC.)	L.O.S.	V/C (%)	(SEC
14	Int. SP40/Cascina Alba	V4 Sin. SP40->Cascina Alba	1,00	99,00		9,00	Α	1,50	98,50		9,00	Α	0,50	
		V7 Sin. Cascina Alba->SP40	1,00	99,00		10,00	В	1,50	98,50		12,00	В	0,50	
		V9 Destr. Cascina Alba->SP40	2,00	98,00		10,00	В	2,00	98,00		10,00	В	0,00	
S4	Tratto rettilineo SP 40		25,26	74,74			Α	28,55	71,45			Α	3,29	
S 5	Tratto rettilineo SP 40 via Santhià		32,65	67,35			В	35,83	64,17			В	3,18	
15	Int. SP593/Strada Valledora	V4 Sin. SP593->strada Valledora	2,00	98,00		8,00	Α	3,00	97,00		9,00	Α	1,00	
		V7 Sin. Strada Valledora->SP593	3,00	97,00		12,00	В	6,00	94,00		13,00	В	3,00	
		V9 Destr. Strada Valledora->SP593	4,00	96,00		10,00	В	6,00	26,00		11,00	В	2,00	
S6	Strada Valledora		6,60	93,40			Α	9,60	90,40			Α	3,00	

Tabella 28: confronto variabili sensibili Stato di Fatto-Scenario 1

Il confronto evidenzia come il modesto incremento dei volumi di traffico previsti non sia in grado di fare variare gli indici prestazionali deglii elementi di rete che mantengono i Livelli di Servizio attuale di categoria A/B. La variazione media del rapporto F/C è dell'1,83% con valori massimi compresi tra il 3.00% e il 3,29%, l'incremento dei tempi di ritardo medi per veicolo è contenuto e non supera mai i 12"-13" veicolo.

7.2) Livelli di Servizio rete viaria nello Scenario 2

La domanda di trasporto considerata è data dalla somma dei flussi attuali e dell'indotto stimato:

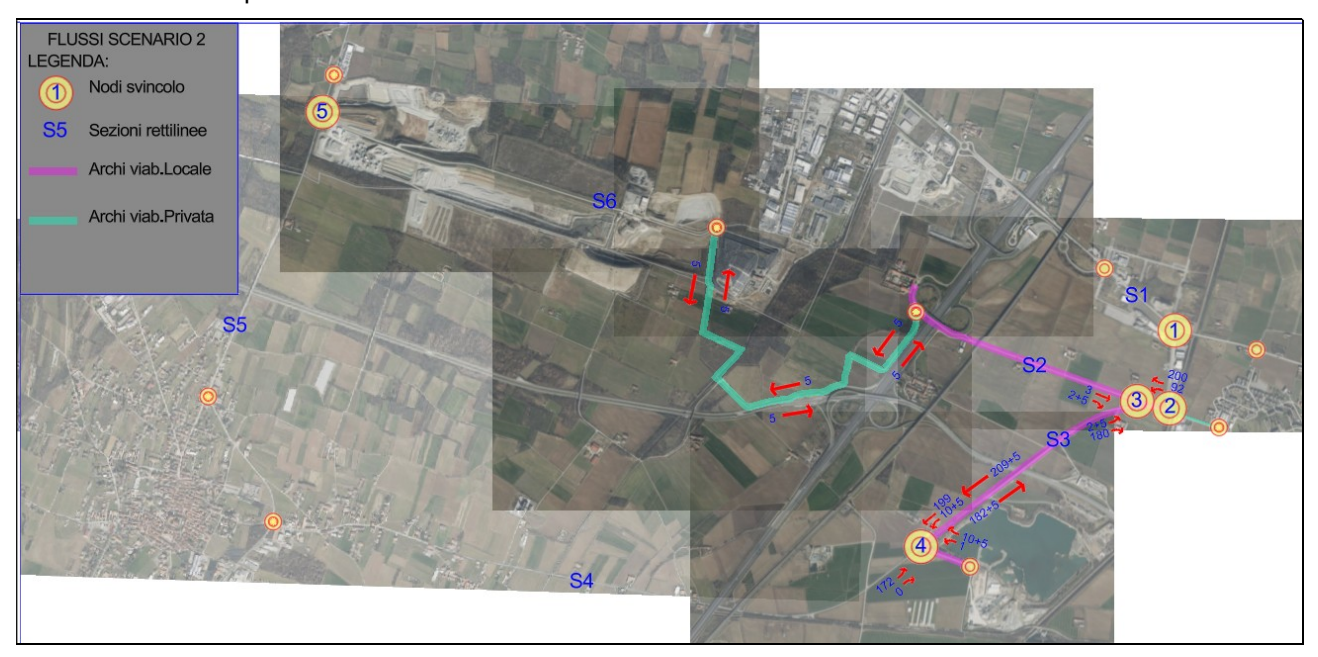


Figura 13: domanda di trasporto stimata per lo scenario 2 – connessione dei siti attraverso viabilità mista

Per la verifica quantitativa dello scenario le sezioni interessate da assegnazione di flussi di traffico indotti sono state:

- 13 Intersezione SP 40- strada Mandria
- 14 Intersezione SP 40-cascina Alba;
- S3 SP 40 tratto dir. Santhià;
- S2 Strada Mandria;

7.2.1) <u>I3 intersezione SP 40 – Strada mandria</u>

L'intersezione libera a raso tra strada Mandria e la SP 40 è stata verificata con il metodo proposto da HCM.

Calcolo inter	valli crit	ici						Nomi vi	Э								Interval	li Critici	[s]							
Movimento	4	9	7			Princ	A		SP 4	10 Cen	tro									tc	tf		Valor	i di rifer	imento	HCM
tempo base	4,1	6,2	7,1			Princ	.B		SP 4	0 este	rna			N° tot	di corsi	ie sulla	principa	le	2	4						
tcHV	1	1	- 1			Sec.	С		Str.	Mandi	ria			LTM (4)				4,	1 4	1 2,2	:0	4,1	4,1	2,2 3,3	0%
pHV	0,8	0,78	0,4			Direz	ioni	dir	dx	sn		Ped		RT (9)				6,2			0	6,2	6,9	3,3	0%
tcpendenza	0	0,1	0,2											TH()					6,5			0	6,5	6,5	4,0	0%
pendenza (i.e. 0,02)														LTm (7)				7,	1 7	5 3,5	0	7,1	7,5	3,5	0%
tLTm	0	0	0,7																				correzio	ne temp	o critico	(
t more step	0	0	- 1											N° tot	di corsi	ie sulla	principa	le	- 2	2 selezi	onare					
Tempo critico	4,9	6,98	5,8				Livelli	Ritar	do					Perio	do di rife	eriment	to			selezi	onare					
							Α	0	10																	
Calcolo interva	alli deflu	ISSO					В	10	15																	
Movimento	4	9	7				С	15	25																	
tempo base	2,2	3,3	3,5				D	25	35										Impe	edenze						
tfHV	0,9	0,9	0,9				E	35	50															ē	0	ė.
pHV	0,8	0,78	0,4				F	50											ACC 1851		_		0	9	medio	
T follow up	2,9	4	3,9														'e e	ZL	lee lita	a e	PZ S	ane s	a t			
																	nzi	- G	e-f ap	re zic	re der	der Szic	i ci	laz lo	8	o iž
																	Capacità potenziale	Impedenza pedoni	Probabilità queue-free	Fattore	impedenza Fattore correzione	impedenza Fattore correzione	Capacità	Grado saturazione	Ritardo	Livello servizio
		di flus																				ELL S S	ŰΕ			
Movimento	V	legg.	pes.	% pes 1	OTALE	k.eq.	veq,		Flus	ssi cor	nflittu	ali		ΣVc	Tc	Tf	ср	Pp	P ₀	P"	P'	f	cm	v/c	d	LOS
SP 40 Centro dir	V2	207	6	0	213	2																				
SP 40 Centro dx	V3	4	0	0	4,12	2																				
SP 40 esterna dir	V5	180	6	0	186	2																				
Str. Mandria dx	V9	2	7	0,8	9	2	16	2,06	213	0	0			215	6,978	4	667	1,00	0,99	9			667	0,01	10	В
		0	0					0,5*V3	V2	V14	V15															
SP 40 esterna sn	V4	2	6	0,8	8	2	14	4,12	213	0				217	4,85	2,875	1018	1,00	0,99	9			1018	0,01	9	Α
		0	0					V3	V2	V15																
Str. Mandria sn	V7	4	3	0,4	7	2	10	213,2	2,1	16	186	0	0	417	5,829	3,886	586	1,00		0,9	9 0,9	9 0,99	582	0,01	11	В
	111							V2).5*V	2*V4	V5/N	V13	V15													

Tabella 29: Intersezione SP40 – strada Mandria – F/C e Ritardi modello HCM – Scenario 2

I movimenti conflittuali dell'intersezione, rappresentati dalle manovre di svolta a sinistra e dall'immissione in mano destra dalla strada secondaria locale, presentano saturazioni inferiori al 10% del rapporto flusso/capacità, tempi di ritardo per veicolo compresi tra 9" e 11" con Livelli di Servizio di tipo A/B.

7.2.2) I4 Intersezione SP 40-cascina Alba

L'intersezione rappresenta il nodo di accesso all'impianto di trattamento del materiale da scavo. La verifica condotta sull'intersezione libera a raso con la domanda di trasporto attuale ha prodotto i seguenti risultati.

Calcolo interv	alli crit	ici						Nomi vi	e								Interval	lli Critici	[s]							
Movimento	4	9	7			Princ	Α.	SI	2 40 k	ato Ca	vaglià									tc	tf		Valor	i di rifer	imento	нсм
tempo base	4,1	6,2	7,1			Princ	.B	S	P 40	ato Sa	anthià			N° tot	di cors	sie sulla	principa	le	2	4						
tcHV	1	- 1	1			Sec.	С		Case	ina A	lba			LTM (4)				4,1	1 4,	1 2,20		4,1	4,1	2,2	0%
pHV	0,9	0,94	0			Direz	ioni	dir	dx	sn		Ped		RT (9)				6,2	2 6,	9 3,30		6,2	6,9	3,3	0%
tcpendenza	0	0,1	0,2											TH ()					6,5	6,	5 4,00		6,5	6,5	4,0	0%
pendenza (i.e. 0,02)														LTm (7)				7,1	1 7,	5 3,50		7,1	7,5	3,5	0%
tLTm	0		0,7																				correzio	ne temp	critico	0
t more step	0	0	- 1											N° tot	di cors	sie sulla	principa	le	2	selezio	onare					
Tempo critico	5	7,14	5,4				Livelli	Ritar	do					Perio	do di ri	ferimen	to		1	selezio	onare					
							Α	0	10																	
Calcolo interval	li deflu	sso					В	10	15																	
Movimento	4	9	7				С	15	25																	
tempo base	2,2	3,3	3,5				D	25	35										Impe	denze						
tfHV	0,9	0,9	0,9				E	35																ē	0	ē
pHV	0,9	0,94	0				F	50											101 8050	10 0	_		0	စ္	medio	
T follow up	3	4,14	3,5														a a	72.9	lità ree	DI G	910	and 4	ar ta	0	Ε	0
																	nzi	⊒ Ge	abi	SZic	ore Szic	ezic Szic	크로	raz lo	op.	Ş i
																	Capacità potenziale	Impedenza pedoni	Probabilità queue-free	Fattore	Fattore correzione	Fattore	Capacità movimento	Grado saturazione	Ritardo	Livello servizio
		di flus																_				шőő				
Movimento	V	legg.	pes.		TOTALE		veq,		Flus	si co	nflittu	ali		ΣVc	Tc	Tf	ср	Pp	P ₀	P"	P'	f	cm	v/c	d	LOS
SP 40 lato Cavaglià dir	V2	172	5	0	177	2	182																			
SP 40 lato Cavaglià dx	V3	1	0	0	1,03	2	1,1																			
SP 40 lato Santhià dir	V5	199	1	0	200	2	201																			
Cascina Alba dx	V9	1	15	0,9	16	2	31	0,515		-	0			178	7,138	4,144	675	1,00	0,98	3			675	0,02	10	В
		0	0					0,5*V3	V2	V14	V15															
SP 40 lato Santhià sn	V4	1	15	0,9	16	2	31	1,03	177	0				178	5,038	3,044	993	1,00	0,98	3			993	0,02	9	Α
		0						V3	V2	V15																
Cascina Alba sn	V7	2	0	0	2	2	2	177,2	0,5		200	0	0	410	5,4	3,5	674	1,00		0,9	8 0,99	0,99	666	0,00	10	В
								V2),5*V	2*V4	V5/N	V13	V15												11.7	

Tabella 30: Intersezione SP40 - Cascina Alba - F/C e Ritardi modello HCM - Scenario 2

I movimenti conflittuali dell'intersezione, rappresentati dalle manovre di svolta a sinistra e dall'immissione in mano destra dalla strada secondaria locale, presentano saturazioni inferiori al 10% del rapporto flusso/capacità, tempi di ritardo per veicolo compresi tra 9" e 10" con Livelli di Servizio di tipo A/B.

7.2.3) S2 Strada Mandria

Il tratto è stato analizzato facendo ricorso al modello proposto dall'H.C.M per sezioni rettilinee. Per lo scenario i risultati proposti dal modello sono stati:

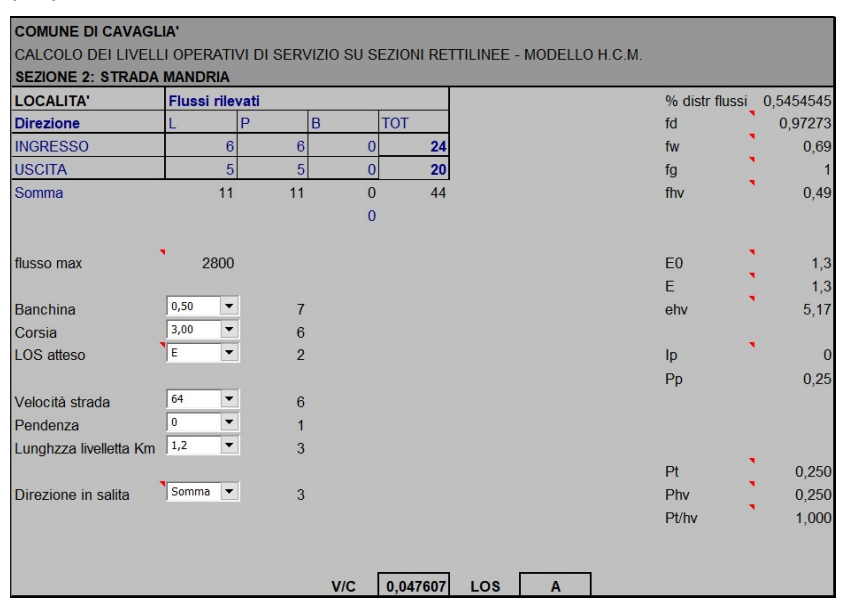


Tabella 31: Strada Mandria - F/C nello scenario 2

Utilizzando una capacità teorica massima con curva di deflusso pari a 2,57 sec./veicolo si ha un rapporto Flusso/Capacità del 4,76% corrispondente a LOS A e una riserva di capacità superiore al 90,00%.

7.2.4) S3 SP 40

Il tratto è stato analizzato facendo ricorso al modello proposto dall'H.C.M per sezioni rettilinee. I risultati proposti dal modello sono stati:

OCALITA'	Flussi rile	vati				% distr fl	ueei (,5313808
Direzione	L		В	тот		fd	4331	0,98117
CAVAGLIA'	209	15	0	254		fw		0,84
SANTHIA'	182	14	0			fg	7	1
Somma	391	29	0	478		fhv	*	0,80
			0					
lusso max	2800					E0	•	1,3
						E	7	1,3
Banchina	0,25 🔻	8				ehv	*	5,17
Corsia	3,35	3						
OS atteso	E	2				lp	1	0
						Pp		0,82
/elocità strada	64 ▼	6						
Pendenza	0 🔻	1						
unghzza livelletta Km	0,8	2						
Direzione in salita	Somma ▼	3				Pt		0,061
Direzione in Salita	John T	3				Phv Pt/hv	•	0,061 1,000

Tabella 32: SP 40 - F/C nello scenario 2

Utilizzando una capacità teorica massima con curva di deflusso pari a 2,57 sec./veicolo si ha un rapporto Flusso/Capacità dello 0,2580 corrispondente a LOS A e una riserva ci capacità del 74.20%.

Nella tabella successiva vengono messi a confronto i valori delle variabili sensibili nello stato di fatto e nello scenario di progetto identificato con il numero 2.

					STATO DI FATT	0				SCENARIO 2				DELTA
SEZIONE	IDENTIFICAZIONE	MOVIMENTO	V/C (%)	RISERVA CAPACITA' (%)	SATURAZIONE ANELLO (%)	RITARDO MEDIO (SEC.)	L.O.S.	V/C (%)	RISERVA CAPACITA'	SATURAZIONE ANELLO (%)	RITARDO MEDIO (SEC.)	L.O.S.	V/C (%)	RITARDO MEDIO (SEC.)
	V4 Int. SP40/Strada Mandria	V4 Sin. SP40->Strada Mandria	1,00			8,00	Δ	1,00		AIVELEO (70)	9,00	Α	0,00	1,
	V Find of Toyottada Manana	V7 Sin. Strada Mandria->SP40	1,00	-		11,00	В	1,00	,		11,00	В	0,00	0,1
		V9 Destr. Strada Mandria->SP40	1,00			8,00	Α	1,00	99,00		10,00	В	0,00	2,
14	Int. SP40/Cascina Alba	V4 Sin. SP40->Cascina Alba	2,00	98,00		10,00	В	2,00	98,00		10,00	Α	0,00	0,
		V7 Sin. Cascina Alba->SP40	1,00	99,00		9,00	Α	1,50	98,50		12,00	В	0,50	3,
		V9 Destr. Cascina Alba->SP40	1,00	99,00		10,00	В	2,00	98,00		10,00	В	1,00	0,
S2	Strada Mandria		1,00	99,00			Α	4,70	95,30			Α	3,70	0,
S3	SP40 Dir. Santhià		22,93	77,07			Α	25,80	74,20			Α	2,87	0,
15	Int. SP593/Strada Valledora	V4 Sin. SP593->strada Valledora	2,00	98,00		8,00	Α	3,00	97,00		9,00	Α	1,00	1,
		V7 Sin. Strada Valledora->SP593	3,00	97,00		12,00	В	6,00	94,00		13,00	В	3,00	1,
		V9 Destr. Strada Valledora->SP593	4,00	96,00		10,00	В	6,00	26,00		11,00	В	2,00	1,
S6	Strada Valledora		6,60	93,40			Α	9,60	90,40			Α	3,00	0,

Tabella 33: confronto variabili sensibili Stato di Fatto-Scenario 2

Anche in questo caso il confronto tra i valori di F/C e tempi di ritardo delle diverse componenti della rete viaria non presenta variazioni significative rispetto allo stato di fatto. Le variazioni percentuali dei parametri

significativi si attesta sull'1,90%, mentre i LdS rimangono invariati con saturazioni e tempi di ritardo contenuti a dimostrazione dello scarso peso della domanda di trasporto indotta.

8) CONCLUSIONI

Lo studio di impatto viabilistico aveva l'obiettivo di sviluppare le analisi relative agli effetti sul sistema viario derivanti dalla realizzazione del "Progetto di rinnovo con ampliamento e modifica dell'attività estrattiva di ghiaia e sabbia in loc. Cascina Valle" sul territorio del Comune di Cavaglià (BI)".

Lo studio è stato sviluppato partendo dalla richiesta di approfondimenti da parte dell'Organo Tecnico del 18.01.2024 in merito all'Istruttoria relativa all'Istanza di Verifica di Assoggetabilità a V.I.A. del progetto sopraindicato e contenuti nel Capitolo "(E) INQUINAMENTO E DISTURBI AMBIENTALI", punto "VIABILITÀ E TRAFFICO VEICOLARE.

Scopo generale dello studio è stato quello di verificare gli effetti sul sistema viario derivati dalla distribuzione del traffico indotto e aggiuntivo dovuto allo sviluppo delle nuove attività.

Gli obiettivi assunti, partendo dal dimensionamento dell'intervento e dalla quantificazione della domanda di trasporto attuale, hanno portato alla definizione della domanda di trasporto indotta e a due diverse ipotesi relative alla sua distribuzione sulla rete viaria.

Queste due ipotesi messe a confronto hanno assunto il nome di Scenario 1 e Scenario 2.

Le misure di traffico e la verifica quantitativa effettuata, attraverso l'impiego dei modelli statistici, hanno evidenziato Livelli Operativi di Servizio (LdS) di rete compresi tra le categorie A e C.

I tratti rettilinei della SP 143, SP 40 e della SP 593 hanno fatto emergere rapporti Flusso/capacità compresi tra il 25% e il 35% della capacità teorica.

L'intersezione a rotatoria tra la SP 143 con le viabilità locali ha evidenziato una saturazione dei rami di accesso compresa tra il 18% e 23% con tempi stimati di ritardo per veicolo inferiori ai 10".

I movimenti conflittuali delle intersezioni libere a raso analizzate hanno presentato saturazioni comprese tra il 5% e il 39% con tempi di ritardo stimati di 7"/15" e LdS di categoria B/C.

Nel complesso la rete appare poco sollecitata con ampie riserve di capacità.

La distribuzione sull'infrastruttura della domanda di trasporto indotta ha poi considerato:

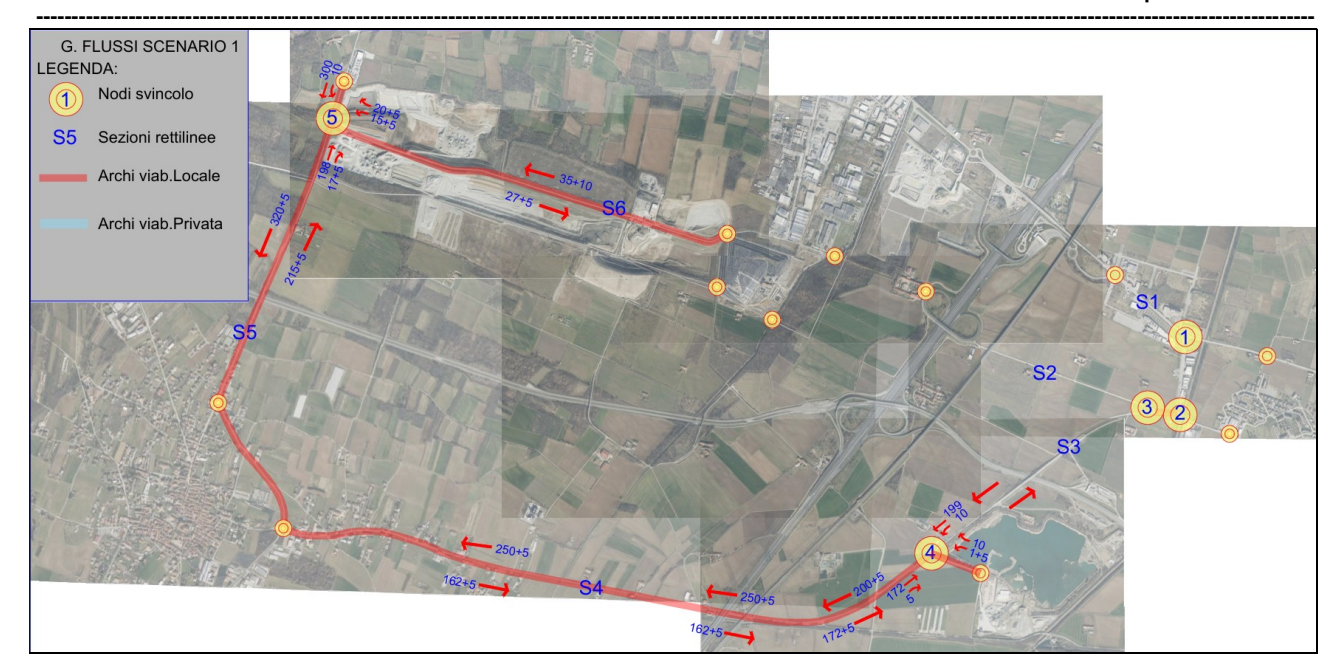
• Il numero di viaggi/giorno dei mezzi d'opera generati: 1.000/20 = 50 viaggi/giorno

Il numero di viaggi/ora generati: 50/10 = 5 viaggi/ora

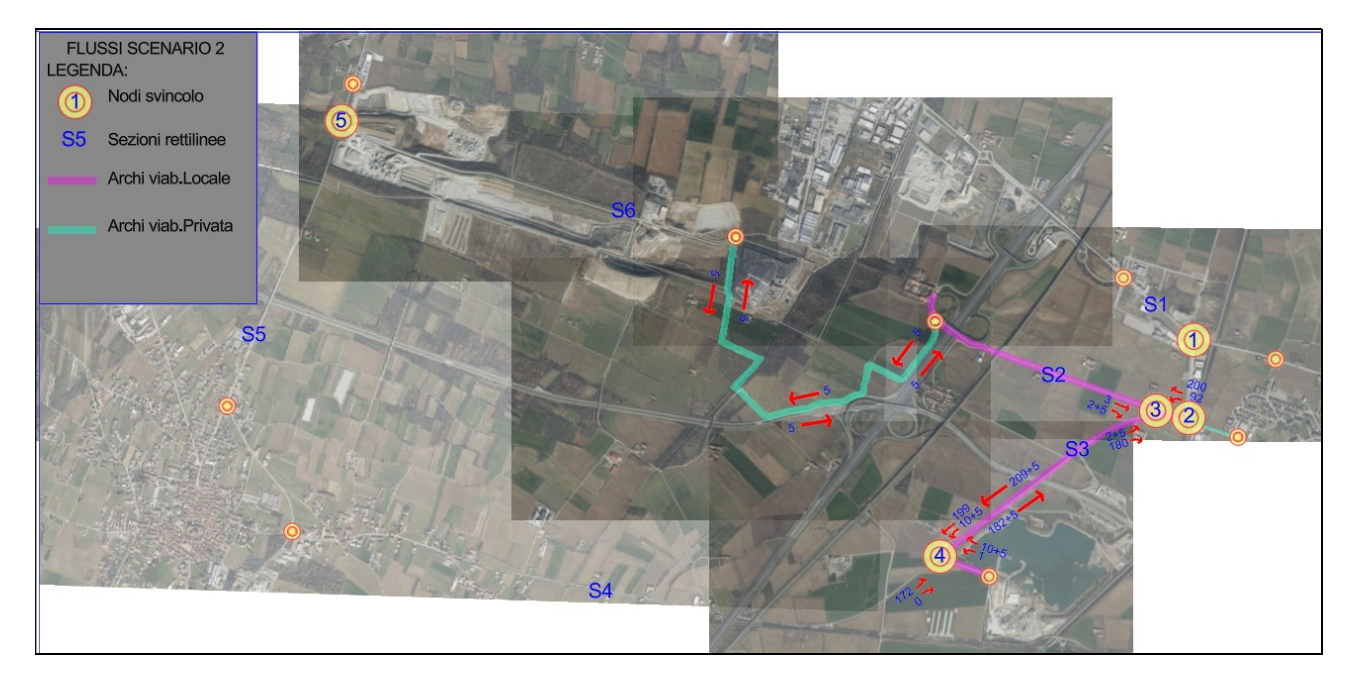
Questi valori di indotto sono stati assunti durante la valutazione degli scenari di progetto e precisamente:

• Scenario 1 che prevedeva la connessione tra i diversi siti attraverso l'utilizzo della sola rete stradale esistente quindi con la connessione di Cascina Valle (sito di estrazione) con Cascina Alba (sito di trattamento) attraverso della SP 593 e della SP 40 con uno sviluppo di 9,36 km.

Rev 1 - 08- 2025



• Scenario 2 che prevedeva la connessione tra i diversi siti attraverso l'utilizzo di un percorso misto con tratti di viabilità pubblica (Strada Valledora, Strada Mandria, SP 40) e tratti di viabilità su aree private con uno sviluppo di 6,14 km.



In ambedue i casi restava inalterata la connessione con la viabilità di gerarchia superiore (A4) attraverso corso Aosta e la SP 143.

L'impiego dei modelli quantitativi nel confronto tra stato di fatto e scenari di progetto ha evidenziato:

• Per lo **Scenario 1** una variazione media del rapporto F/C pari all'1,83% con valori massimi di variazione compresi tra il 3.00% e il 3,29% e tempi di ritardo compresi tra i 9" e i 13". I Livelli di Servizio rimangono inalterati rispetto allo stato attuale con valori di categoria A/B;

• Per lo **Scenario 2** una variazione media del rapporto F/C pari all'1,90% con valori massimi di variazione compresi tra il 2.50% e il 3,70% e tempi di ritardo compresi tra i 9" e i 12". I Livelli di Servizio rimangono inalterati rispetto allo stato attuale con valori di categoria A/B;

In ambedue i casi la rete appare poco sollecitata e i valori di LdS risultano compatibili con la classe delle strade coinvolte.

Va sottolineata la differenza dello sviluppo dei tracciati nei due scenari: 9,36 km per lo scenario 1 e 6,14 km per lo scenario 2.

Traducendo questa differenza in lunghezza dei percorsi giornalieri di andata e ritorno tra i due siti (50 viaggi/giorno) abbiamo una riduzione complessiva di 322,00 km/giorno.

ALLEGATI:

- ✓ A. GRAFO DI RETE NELLO STATO DI FATTO
- **✓** B. FLUSSI DI TRAFFICO 7.30 8.30
- ✓ C. FLUSSI DI TRAFFICO 17.00-18.00
- ✓ D. LIVELLI OPERATIVI DI SERVIZIO
- ✓ E. GRAFO DI RETE SCENARIO 1
- ✓ F. GRAFO DI RETE SCENARIO 2
- ✓ G. FLUSSI DI TRAFFICO SCENARIO 1
- ✓ H. FLUSSI DI TRAFFICO SCENARIO 2